

TA_Marlina Panjaitan_20731019

- -

by C F

Submission date: 27-Aug-2023 09:02PM (UTC-0400)

Submission ID: 2149963048

File name: TA_Marlina_Panjaitan_20731019-2.pdf (4.09M)

Word count: 6240

Character count: 33792

7 I. PENDAHULUAN

1.1. Latar Belakang

Survei dan pemetaan merupakan suatu proses penggunaan cara dan cara tertentu untuk mengukur, menghitung, dan menggambarkan ciri-ciri permukaan bumi, sehingga hasilnya disajikan dalam bentuk peta. Pemetaan dilakukan untuk memperoleh beberapa informasi mengenai kondisi lokasi yang dipetakan. Hasil dari kegiatan pemetaan ini memberikan informasi kepada pembaca dalam bentuk peta. *Fotogrametri* merupakan salah satu metode paling umum yang digunakan untuk survei dan pemetaan.

Teknologi drone kini mulai marak di masyarakat secara luas, sebagai teknologi alternatif baru untuk kegiatan survei dan pemetaan, khususnya foto udara. UAV sedang dikembangkan dan digunakan oleh lebih banyak peneliti dan praktisi baik di dalam negeri maupun luar negeri untuk berbagai aplikasi survei dan pemetaan. Sebagai sumber data spasial, drone merupakan alternatif murah untuk penginderaan jauh (Bendea, dkk, 2008).

Pada sebagian besar kasus, aplikasi pemetaan yang menggunakan foto udara tidak menggunakan data geodesi atau *ground control position* (GCP). Karena perbedaan akurasi pemrosesan data foto udara, keakuratan peta tidak mudah dikendalikan, dan hasil pemrosesan foto udara dengan presisi berbeda tidak terlalu detail. Oleh karena itu penulis merumuskan tugas akhir “Kajian Tingkat Akurasi Dan Ketelitian Geometri Peta Dasar Dari Hasil Pengolahan Data Foto Udara Lokasi Cetak Sawah di Desa Muara Asri”.

Dalam Peraturan Kepala Badan Informasi Geospasial (BIG) Nomor 15 tahun 2014 tentang Pedoman Teknis Akurasi Peta Dasar mengatur akurasi peta yang dapat di pertanggung jawabkan secara geometrik dan mengatur metode uji akurasi untuk mengetahui akurasi dan tingkat kesalahan yang diperbolehkan. Oleh karena hal tersebut, maka tugas akhir ini bertujuan untuk menganalisis tingkat akurasi geometri dalam skala yang detail menggunakan drone.

24

1.2 Tujuan

Tujuan dari penulisan tugas akhir ini adalah sebagai berikut:

1. Mengkaji tingkat akurasi geometri peta dasar Desa Muara Asri yang dihasilkan oleh pengolahan foto udara.
2. Menggunakan data hasil olahan foto udara, menentukan tingkat akurasi ³¹ Ground Control Point (GCP) dan Independent Control Point (ICP) di Desa Muara Asri, Kecamatan Mesuji Timur, Kabupaten Mesuji.

1.3 Kerangka Pemikiran

Untuk menetapkan standar akurasi peta, diperlukan pedoman teknis, menurut peraturan kepala badan informasi geospasial nomor 15 tahun 2014 tentang pedoman teknis akurasi peta. Pedoman ini dimaksudkan untuk menghasilkan perhitungan yang akurat, andal, akuntabel, dan disepakati oleh semua pihak.

Ketepatan data geometri GPS bergantung pada data titik GCP dan titik ICP yang dikumpulkan menggunakan RTK geodetik GPS, yang dapat menawarkan penentuan posisi yang tepat. Perbedaan koordinat (X, Y, dan Z) antara lokasi nyata titik uji di tanah dan lokasi yang ditunjukkan pada gambar atau peta dikenal sebagai pengujian akurasi posisi. Selama metode uji akurasi geometri ini, nilai Root Mean Squared Error (RMSE) horizontal ²⁸ dan Root Mean Squared Error (RMSE) vertikal akan diperoleh. Perbedaan koordinat ICP dari sumber independen, yaitu RTK, dan koordinat ICP yang diturunkan setelah pembangunan peta gambar, menghasilkan nilai RMSE.

13

1.4 Kontribusi

Penulisan laporan tugas akhir ini diharapkan dapat memberikan kontribusi kepada:

1. Bagi Politeknik Negeri Lampung untuk memberikan literatur mengenai ⁴ Kajian Tingkat akurasi dan ketelitian geometri peta dasar dari hasil pengolahan data foto udara lokasi cetak sawah di Desa Muara Asri Kabupaten Mesuji.
2. Bagi penulis sebagai bahan bacaan dan untuk memperluas pemahaman dalam mengolah foto udara.

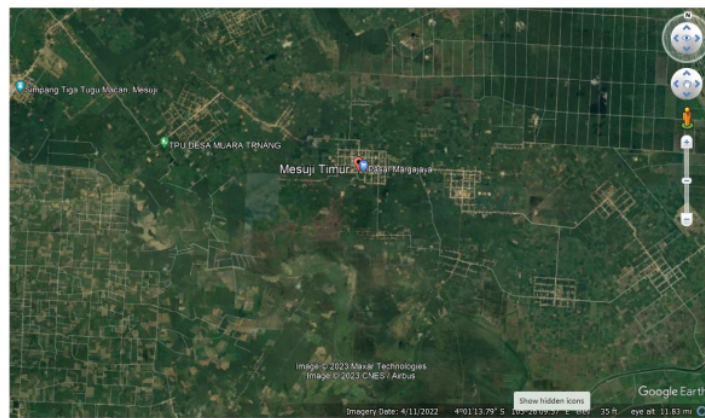
36

3. Pembaca laporan tugas ini diharapkan mampu mempelajari lebih lanjut tentang studi tingkat kebenaran geometri peta dasar dari hasil foto udara lokasi cetak sawah di Desa Muara Asri Kabupaten Mesuji.

1.5 Gambaran Umum Kabupaten Mesuji

1.5.1 Letak Geografis

Kabupaten Mesuji terletak di jalan Lintas Sumatera Timur, yang menghubungkan Provinsi Lampung dengan kota-kota penting di Pulau Sumatera, dan berada di titik paling utara Provinsi Lampung. Wilayah seluas 2.184 kilometer persegi, terdiri dari lahan basah, lahan kering, dan pemukiman. Kabupaten Mesuji merupakan wilayah yang memiliki sumber daya manusia yang cukup potensial selain potensi sumber daya alam yang beragam, melimpah, dan prospektif, khususnya di bidang perkebunan, pertambangan, pertanian, dan agribisnis lainnya, dengan jumlah penduduk 189.999 jiwa yang terbagi dalam 7 kabupaten.



Gambar 1.1 Letak Kecamatan Mesuji Timur

1.5.2 Letak Tofografis

Secara Topografi, wilayah Kabupaten Mesuji dapat dibagi dalam 4 unit topografi, antara lain sebagai berikut:

- a. Daerah dataran yang dimanfaatkan untuk perkebunan;
- b. Daerah rawa, terdapat disepanjang pantai Timur dengan ketinggian 0-1 m yang merupakan daerah rawa yang dimanfaatkan untuk areal persawahan, meliputi Kecamatan Mesuji, Mesuji Timur dan Rawajitu utara;

- c. Daerah river basin, terbatas dua river basin yang utama yaitu river basin Mesuji dan river basin sungai-sungai kecil lainnya. Pada areal river basin Mesuji dan anak-anak sungai lainnya membentuk pola aliran sungai yang umumnya merupakan sungai-sungai kampung; dan
- d. Daerah aluvial meliputi pantai sebelah timur yang merupakan bagian hilir (*down stem*), dari sungai-sungai besar yaitu Sungai Mesuji dapat digunakan sebagai pelabuhan.

1.5.3 Kondisi Geologi

Formasi geologi aluvium (Qa), Endapan Rawa (Qs), dan Formasi Muaraenim (Ttmpm) merupakan informasi geologi untuk wilayah Kabupaten Mesuji. Sungai Mesuji yang berbatasan dengan Kabupaten Ogan Komering Ilir, Provinsi Sumatera Selatan, tercakup dalam formasi alluvium. Wilayah Kabupaten Mesuji di sebelah utara memiliki struktur geologi yang meliputi lapisan sedimen vulkanik dan firaves (*firaves emution*), yang mengalami beberapa proses pada zaman Peistosin Tuan dan menghasilkan lapisan minyak bumi. Karena sedikit informasi tentang cadangan mineral yang ditemukan di wilayah Kabupaten Mesuji, tidak ada yang diketahui tentang potensi deposit bahan tambang.

1.5.4 Hidrologi

Kabupaten Mesuji memiliki potensi sumber daya air irigasi yang sangat baik. Sungai yang dimaksud adalah Sungai Mesuji (Way), yang panjangnya 220 kilometer dan memiliki luas aliran 2.053 km. Terletak di Kabupaten Mesuji-Tulang Bawang. Sungai Buaya memiliki panjang 58.900 km dan luas aliran 796,82 km², menurut informasi dari Dinas Pekerjaan Umum Irigasi Kabupaten Tulang Bawang (termasuk dalam Laporan Akuntabilitas Kinerja Instansi Pemerintah 2007). Sedangkan Sungai Gebang memiliki luas aliran 200,35 Km² dan panjang 26.190 Km.

II.TINJAUAN PUSTAKA

2.2 Drone

Drone adalah mesin terbang atau drone yang dapat diujicobakan secara mandiri atau jarak jauh oleh pilot menggunakan *remote control*. Drone dapat terbang karena mereka menggunakan prinsip-prinsip aerodinamika untuk mengangkat diri, yang dapat mereka lakukan lagi selama mereka tidak dihancurkan. Drone dapat diujicobakan secara mandiri menggunakan *remote control* yang terhubung ke media transmisi gelombang radio seperti Wi-Fi yang sebelumnya telah dibuat oleh program komputer sebelum digunakan, memungkinkan pilot di darat atau di lokasi lain untuk mengendalikannya dari jarak jauh. Selain itu, drone dapat dioperasikan menggunakan joystick atau ponsel (Suroso, 2016).

Alat canggih ini sebelumnya hanya digunakan oleh militer, tetapi sekarang banyak digunakan oleh seluruh pihak. Selain itu, pemerintah memanfaatkan alat canggih ini untuk menghubungkan intelejen dengan properti. Namun, masyarakat sekarang juga dapat menggunakan Drone (indreswari, 2016).

2.3 Titik Kontrol

2.3.1 Ground Control Point (GCP)

Prosedur penandaan adalah titik kontrol tanah. Proses koreksi *Ground Control Point* (GCP) yang terdiri dari sepasang koordinat X dan Y yang terdiri dari koordinat sumber dan koordinat referensi adalah proses menandai posisi koordinat berupa beberapa titik yang diperlukan untuk kegiatan koreksi data dan perbaikan citra secara keseluruhan. Jenis GPS dan jumlah sampel GCP yang digunakan untuk mengumpulkan lokasi dan waktu memiliki dampak yang signifikan terhadap akurasi GCP (Darmawan, 2008).

2.3.2 Independent Check Point (ICP)

Dengan membandingkan koordinat model dengan koordinat aktual, titik kontrol independen, juga dikenal sebagai pos pemeriksaan, digunakan sebagai titik kontrol tanah untuk kontrol kualitas item. Perbedaan utama antara GCP dan ICP adalah bahwa ICP tidak terlibat dalam pemrosesan data, GCP beroperasi saat

data diproses dan menjadi produk. Untuk fotografi udara, lokasi ini digunakan untuk mencapai presisi horizontal (Lailissaum, 2015).

2.4 Postmark 3

Cap pos adalah titik kontrol yang diukur setelah pekerjaan survei foto udara dengan menemukan objek dalam gambar dan kemudian mencari tahu koordinat gambar. Setelah mendapatkan foto udara, data koordinat cap pos dikumpulkan. Pada foto udara, item yang mudah dikenali digunakan untuk menentukan cap pos. Aturan berikut berlaku saat menentukan lokasi cap pos (Zona Spasial, 2019):

1. Jika titik premark tidak ada, rusak, kurang, atau hilang, *post mark* ditentukan.
2. Lokasi ideal untuk menentukan postmark sama dengan premark, yaitu dengan mengidentifikasi lokasi-lokasi atau obyek-obyek yang dapat dijadikan sebagai lokasi titik *postmark*.
3. Karena *postmark* adalah titik kontrol yang diukur setelah pekerjaan survei foto udara, maka perlu dilakukan identifikasi objek yang terdapat pada foto.

2.5 Fotogrametri 7

Perekaman, pengukuran, dan interpretasi gambar fotografi dan pola radiasi elektromagnetik digunakan dalam ilmu dan seni fotogrametri untuk mengumpulkan data akurat tentang objek fisik dan sekitarnya. Fotogrametri dipisahkan menjadi dua kategori jika dilihat dari sumber foto yang diperoleh, yaitu:

a) *Fotogrametri Metrik*

Fotogrametri metrik menggunakan hasil fotogrametri untuk menghitung jarak, sudut, luas, dan volume untuk menentukan geometri dan posisi benda.

b) *Fotogrametri interpretatif*

Untuk memahami karakteristik medan dengan lokasi yang dapat diukur dan tujuan fotogrametri, tujuan fotogrametri yang sangat penting diperlukan. Fotogrametri interpretatif bertujuan untuk mendapatkan data secara kualitatif dengan mengidentifikasi objek serta menilai pentingnya objek tersebut melalui analisis yang sistematis dan cermat. Tujuan fotogrametri yang sangat penting diperlukan untuk menginterpretasikan kenampakan medan dengan lokasi yang

dapat dihitung, dan tujuan fotogrametri adalah membangun secara geometrik hubungan antara objek dan citra dan memberikan informasi tentang objek secara detail (Slama,1980).

2.6 Ortofotografi

Unit fotografi udara yang dikenal sebagai *orthophoto* atau *orthoimage* dibuat dari mosaik foto udara yang diperbaiki secara geometris. Ini fitur nilai distorsi konstan dan rentang skala yang sama di seluruh. Hampir setiap tugas yang membutuhkan foto udara dan pemetaan sistematis atau sering dapat menggunakan *orthophoto* atau *orthoimage*. Keuntungan dari *orthophotos* adalah akurasinya yang sangat baik, yang membuatnya mudah untuk melakukan penelitian monotematis (Polidori dan Kasser, 2002).

2.7 Foto Udara

Survei udara adalah proses mengambil foto udara dari area tertentu sambil mematuhi prinsip-prinsip fotogrametri yang ditentukan. Pedoman ini termasuk memilih lokasi yang ideal untuk foto, memilih sudut matahari yang ideal, memilih film dengan resolusi yang baik, memilih jarak api yang ideal, terbang pada tingkat yang seimbang dengan panjang fokus, dan memilih ujung dan tepi patch yang memenuhi standar untuk penggeraan. Hasil akhirnya adalah dokumentasi menyeluruh dari permukaan bumi yang tergantung pada sejumlah variabel, termasuk panjang fokus lensa kamera, ketinggian pesawat, dan periode pemotretan (Wolf, 1993).

2.8 Penentuan akurasi foto udara

Foto udara yang akurat diperoleh dari kualitas situs GCP dan ICP yang dapat dikenali di lapangan. Ini menunjukkan perbedaan antara koordinat posisi objek pada peta dan koordinat yang dianggap mewakili posisi sebenarnya objek.

Tabel 2. 1 Geometri Ketelitian Peta

| No | Skala | Interval Kontur (m) | Ketelitian Peta RBI | | | | | |
|----|------------|---------------------|---------------------------|-------------------------|---------------------------|-------------------------|---------------------------|-------------------------|
| | | | Kelas 1 | | Kelas 2 | | Kelas 3 | |
| | | | Horizontal (CE90 dalam m) | Vertikal (LE90 dalam m) | Horizontal (CE90 dalam m) | Vertikal (LE90 dalam m) | Horizontal (CE90 dalam m) | Vertikal (LE90 dalam m) |
| 1 | 1:1000.000 | 400 | 200 | 200 | 300 | 300,00 | 500 | 500,00 |
| 2 | 1:500.000 | 200 | 100 | 100 | 150 | 150,00 | 250 | 250,00 |
| 3 | 1:250.000 | 100 | 50 | 50 | 75 | 75,00 | 125 | 125,00 |
| 4 | 1:100.000 | 40 | 20 | 20 | 30 | 30,00 | 50 | 50,00 |
| 5 | 1:50.000 | 20 | 10 | 10 | 15 | 15,00 | 25 | 25,00 |
| 6 | 1:25.000 | 10 | 5 | 5 | 7,5 | 7,50 | 12,5 | 12,50 |
| 7 | 1:10.000 | 4 | 2 | 2 | 3 | 3,00 | 5 | 5,00 |
| 8 | 1:5.000 | 2 | 1 | 1 | 1,5 | 1,50 | 2,5 | 2,50 |
| 9 | 1:2.500 | 1 | 0,5 | 0,5 | 0,75 | 0,75 | 1,25 | 1,25 |
| 10 | 1:1.000 | 0,4 | 0,2 | 0,2 | 0,30 | 0,30 | 0,5 | 0,50 |

Sumber : BIG Nomor 15 Tahun 2014

Tabel 2.1 menampilkan kualitas geometris yang dapat dikategorikan sesuai dengan Peraturan Kepala Badan Informasi Geospasial Nomor 15 Tahun 2014.

Menurut Badan Informasi Geospasial Nomor 15 Tahun 2014, pengujian akurasi posisi mengukur perbedaan koordinat (X, Y, dan Z) antara lokasi nyata titik uji di permukaan tanah dan titik pada gambar atau peta.

2.9 Rektifikasi

Reflaksi dapat dianggap sebagai prosedur pemrosesan foto digital yang dilakukan untuk menghasilkan gambar tanpa distorsi. Pada gambar udara yang tidak dikoreksi, titik yang sesuai pada peta, atau pada foto resmi, parameter transformasi dihitung menggunakan GCP (Temiz dan Kültür).

Untuk *replikasi* gambar satelit, diperlukan beberapa koordinat titik kontrol lapangan yang merupakan bagian dari titik serumpun. Pengukuran GPS langsung di lapangan atau ⁸interpolasi dari peta dasar yang ada adalah dua metode untuk mendapatkan koordinasi titik kontrol lapangan ini. Kompleksitas bentuk transformasi polinomial yang akan Anda gunakan untuk mengubah data raster menjadi koordinat peta akan menentukan berapa banyak titik kontrol yang perlu Anda atur. Untuk membangun hubungan antara sistem koordinat proyeksi dan sistem koordinat gambar (baris, kolom), titik kontrol harus didistribusikan secara merata ke seluruh gambar daripada terkonsentrasi di satu tempat (Erdas, 1991).

2.10 Root Mean Square Error (RMSE)

¹⁷ *Root mean squared error* (RMSE) adalah rumus penilaian untuk persamaan kuadrat yang juga menghitung besarnya kesalahan rata-rata. Perbedaan kuadrat rata-rata antara prediksi dan pengamatan aktual adalah apa yang diwakili oleh istilah ini. *Root Mean Square Error* adalah selisih antara nilai koordinat data dengan nilai koordinat sumber independen yang akurasinya lebih tinggi, sebagaimana didefinisikan oleh BIG Perka Nomor 15 Tahun 2014. Dua nilai RMSE, yaitu nilai RMSE horizontal dan vertikal, akan diperoleh dalam penyelidikan ini. Perbedaan antara koordinat ICP dari sumber yang berbeda, khususnya koordinat RTK dan ICP yang diturunkan setelah pengembangan peta gambar, adalah bagaimana nilai RMSE dihitung. Rumus RMSE adalah sebagai berikut:

$$\text{RMSE}_{\text{horizontal}} = \sqrt{\frac{D^2}{n}}$$

$$D^2 = \sqrt{\text{RMSE}_X^2 + \text{RMSE}_Y^2}$$

$$D^2 = \sqrt{\frac{D[(X_{\text{data}} - X_{\text{cek}})^2 + (Y_{\text{data}} - Y_{\text{cek}})^2]}{n}}$$

$$\text{RMSE}_{\text{vertikal}} = \sqrt{\frac{(Z_{\text{DEM}} - Z_{\text{cek}})^2}{n}}$$

Keterangan :

² n = Jumlah total pengecekan pada peta

D= Selisih antara koordinat yang diukur dari sumber independent dengan koordinat di peta

x = Nilai koordinat pada sumbu x

y = Nilai koordinat pada sumbu y

z = Nilai koordinat pada sumbu z

Apabila pada pengukuran koordinat memiliki satuan meter, maka satuan pada perhitungan RMSE juga dalam meter.

2.11 Uji Akurasi Geometri

Peraturan Kepala BIG Nomor 15 Tahun 2014 Tentang Petunjuk Teknis

Akurasi Peta Dasar mengatur pengujian akurasi geometrik. Perhitungan untuk CE90 dan LE90 digunakan untuk menjalankan tes yang diperoleh dari *United States National Mapping Accuracy Standard*.²⁵ Ukuran presisi geometris horizontal yang dikenal sebagai *Circular Error 90%* (CE90) didefinisikan sebagai jari-jari melingkar yang menunjukkan bahwa 90% dari ketidakakuratan atau disparitas dalam posisi horizontal suatu objek pada peta dengan posisi sebenarnya diyakini tidak lebih besar dari jari-jari itu. Istilah *Linear Error 90%*¹⁶ (LE90) mengacu pada angka akurasi geometrik vertikal (tinggi) yang menunjukkan bahwa 90% kesalahan, atau perbedaan antara nilai tinggi objek pada peta dan nilai ketinggian sebenarnya, tidak lebih besar dari nilai jarak.²⁶

$$\text{CE90} = 1.5175 \times \text{RMSE}$$

$$\text{LE90} = 1,6499 \times \text{RMSE}$$

Keterangan :

RMSE_x : Root Mean Square Error pada posisi x dan y (Horizontal)

RMSE_z : Root Mean Square Error pada posisi z (Vertikal)

CE90 : Nilai akurasi posisi horizontal dengan tingkat kepercayaan 90%

LE90 : Nilai akurasi posisi vertikal dengan tingkat kepercayaan 90%

III.METODE PELAKSANAAN

3.1 Waktu dan Tempat Pelaksanaan

Penyusunan laporan tugas akhir ini akan berlangsung di Politeknik Negeri Lampung, Jalan Soekarno Hatta No. 10 Rajabasa, Bandar Lampung, mulai Juni 2023 hingga Agustus 2023.

22 3.2 Alat dan Bahan

Alat dan bahan yang digunakan untuk mendukung pembuatan laporan akhir ini meliputi:

1. Laptop ram 4
2. Drone Dji Phantom 4 RTK
3. GPS Geodetik RTK
4. Software agisoft
5. Software ArcGis 10.8
6. Software Trimble Business Center
7. Software Redtoolbox
8. Excel 2019
9. Foto udara

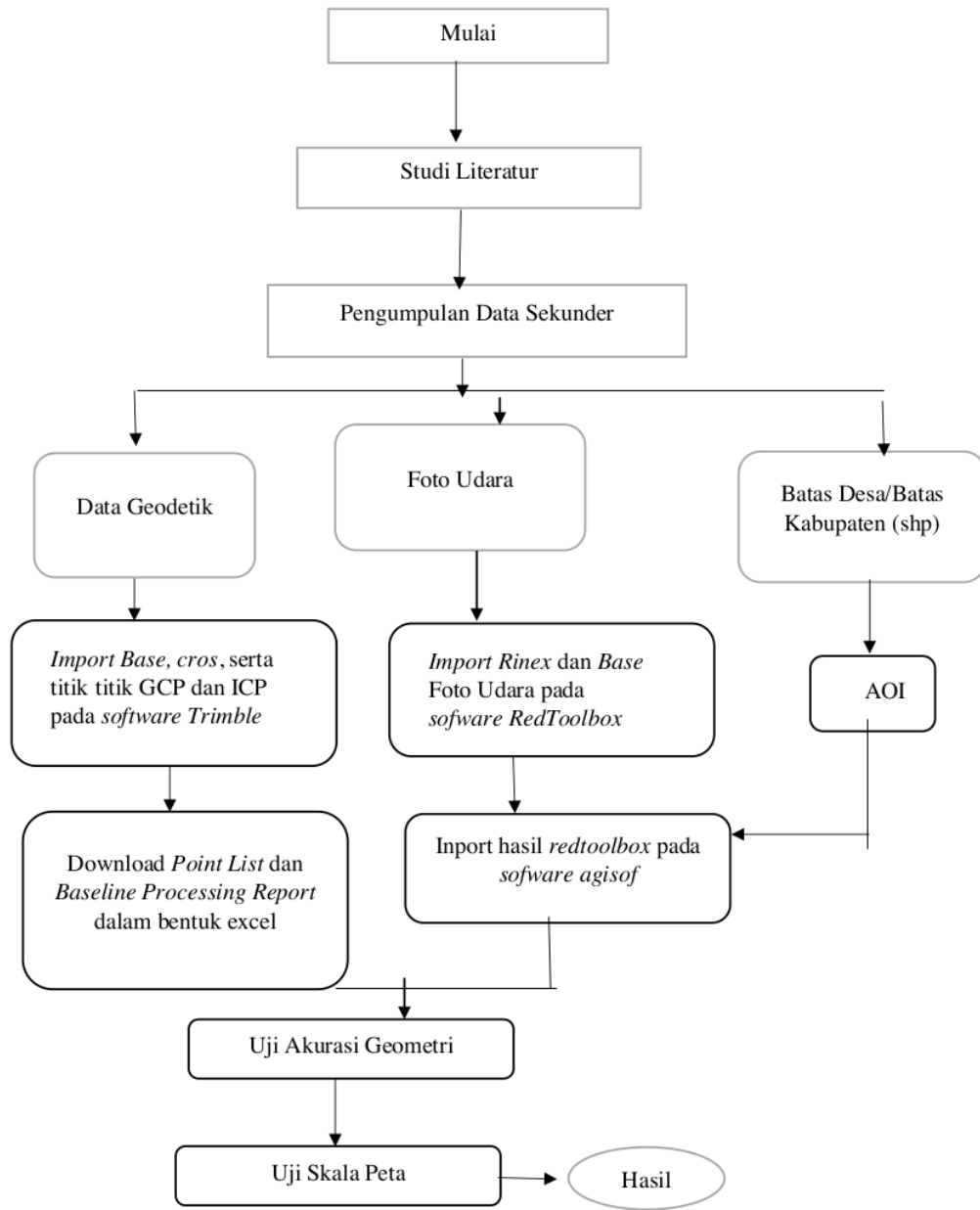
3.3 Pengumpulan data dan Informasi

9
Data yang digunakan adalah hasil pemotretan menggunakan UAV jenis Drone Dji Phantom 4 RTK dengan perencanaan terbang menggunakan aplikasi DroneDeploy. Data pendukung yang digunakan adalah berupa perekaman *Ground Control Point (GCP)* menggunakan GPS RTK dengan metode *Stop and Go*. Data lainnya seperti pengukuran hasil PTSI digunakan untuk memvalidasi data hasil pemotretan foto udara.

3.4 Metode Penelitian

2
Tahap TA yaitu dilakukan kajian uji akurasi geometri diperlukan adanya koordinat premark berupa GCP dan ICP yang didapat dari RTK (*Real Time Kinematic*). Data GCP dan hasil foto udara di Desa Muara Asri menjadi tahapan dalam pengolahan foto udara agar menjadi *orthophoto*. Tahapan dari pengolahan foto udara meliputi penyusunan foto dan rekonstruksi jalur terbang,

georeferencing pembentukan titik tinggi atau dense point clouds, pembentukan DEM(*Digital Elevation Model*) sebagai masukan bagi proses pembuatan orthophoto.



Gambar 3. 1 Bagan Alir Pelaksanaan Kegiatan

3.5 Prosedur

Persiapan pelaksanaan Tugas Akhir ini adalah mempersiapkan alat yang dibutuhkan meliputi *Software agisoft* , *Software ArcGis 10.8* , *Software Trimble Business Center* , *Software Redtoolbox* , Excel 2019 dan seperangkat komputer. Bahan yang dibutuhkan meliputi foto udara yang di ambil oleh *drone type DJI Phantom 4 RTK* serta data GCP dan ICP dari data GPS geodetik RTK.

11

3.6 Pengolahan Data Geodetik

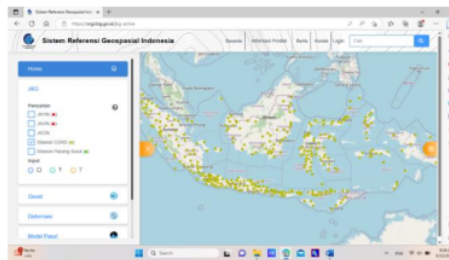
Pengolahan data geodetik menggunakan *software trimble bussines center 64 (bit)* dan mendownload koordinat geodetik pada Sistem Referensi Geospasial Indonesia (SRGI). Berikut langkah-langkah mengolah data geodetik.

1. Mengolah data dari gps geodetik menggunakan *software trimble*.
 2. Sebelum masuk ke *software trimble*, download *CORS* pada *SRGI* untuk menentukan koordinat geodetiknya.
 3. Login ke *SRGI*, setelah berhasil masuk kemudian pilih jaringan kontrol geodesi (Gambar 3.2).



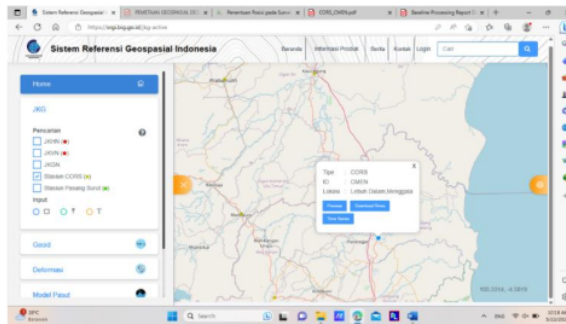
Gambar 3.2 Tampilan Menu Sistem Referensi Geospasial Indonesia

4. Mengaktifkan statasiun *CORS*, untuk mengetahui *CORS* yang terdekat dari lokasi pengambilan data (Gambar 3.3).

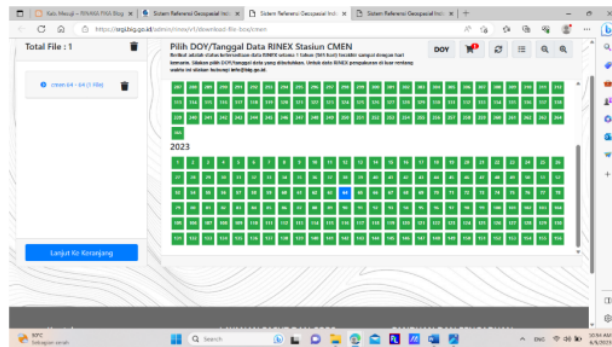


Gambar 3.3 Tampilan *CORS* untuk Menghidupkan Titik Lokasi

5. Memilih stasiun *CORS* terdekat, lalu pilih pada tanggal pengambilan data yaitu 7 Maret 2023, kemudian pilih download (Gambar 3.4 dan Gambar 3.5).

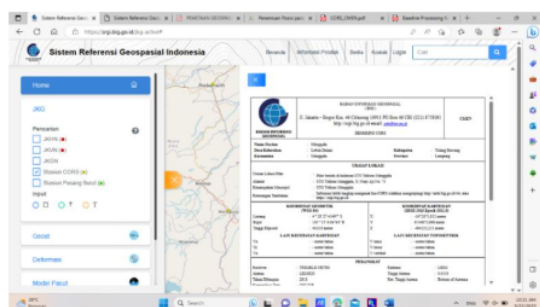


Gambar 3. 4 Tampilan Menu Untuk Mendownload *CORS*



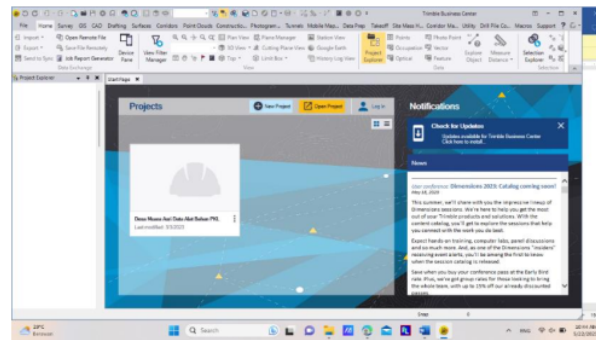
Gambar 3. 5 Tampilan Menu Status Ketersediaan *CORS*

6. Memilih *preview*, kemudian download dalam bentuk PDF (Gambar 3.6).



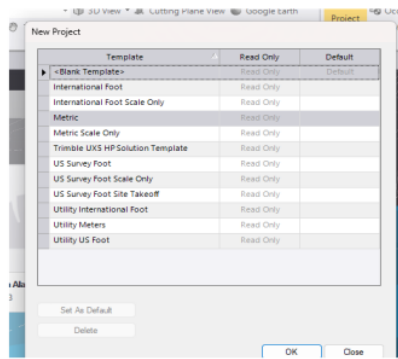
Gambar 3. 6 Tampilan Setelah Mendownload *CORS*

7. Membuka *software Trimble - new project*, untuk pengolahan data alat gps geodetik (Gambar 3.7).



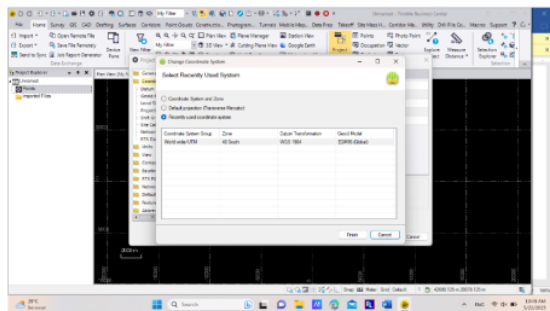
Gambar 3. 7 Tampilan Menu New Project

8. Memilih *metric* (Gambar 3.8).



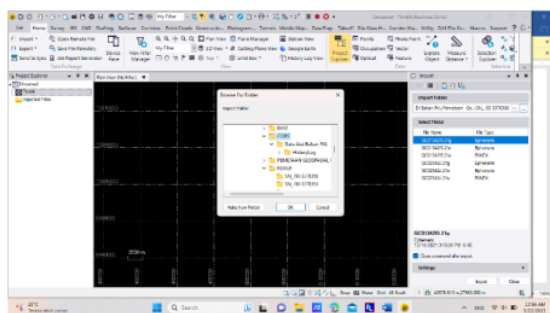
Gambar 3. 8 Tampilan Menu Metric

9. Memilih *project setting - koordinat sistem*, kemudian mengubah koordinat menjadi 48 S, (Gambar 3.9).



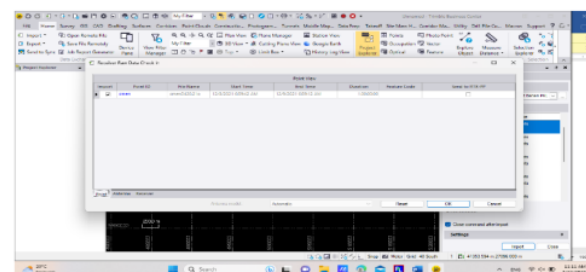
Gambar 3.9 Koordinat WGS

10. Mengklik *import* di pojok kanan masukan terlebih dulu *CROS* nya yang telah di download di *SRGI* sesuai wilayah yang diuji (Gambar 3.10).



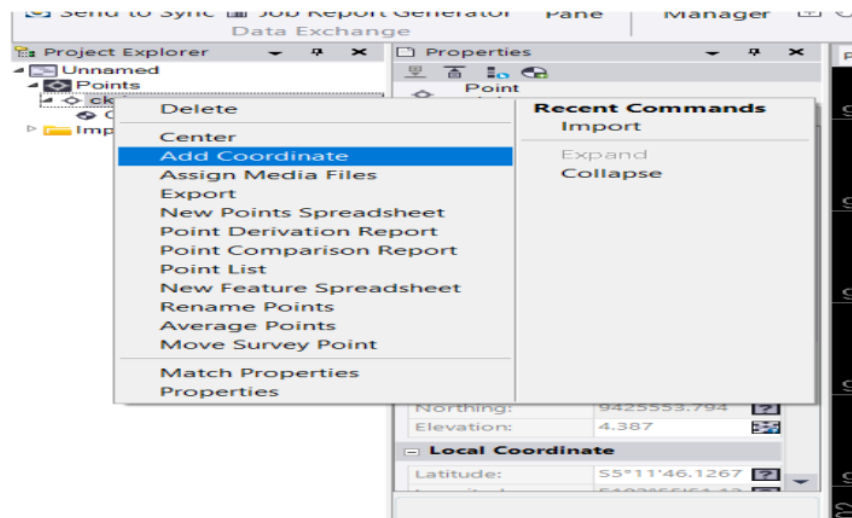
Gambar 3. 10 *Import CORS*

11. Mengklik oke, lalu memilih file *CROS* akan muncul seperti ini lalu klik oke (Gambar 3.11).



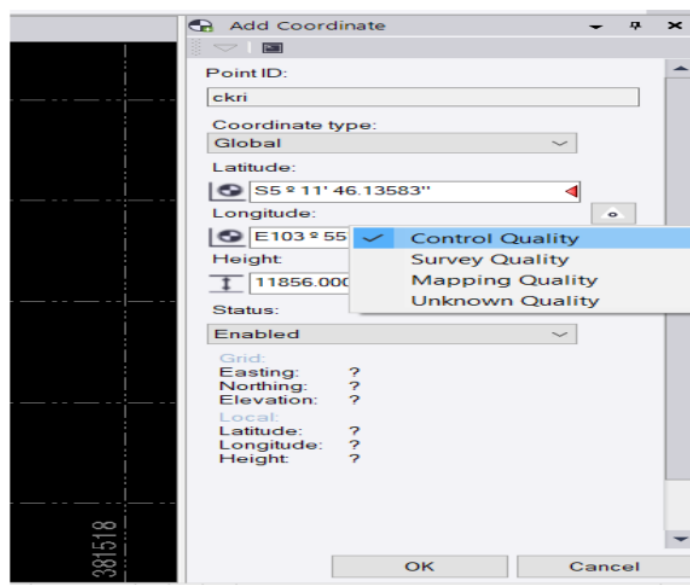
Gambar 3.11 Tampilan Sebelum Import

12. Mengklik kanan pada *CROS* yang telah di Import untuk memasukan koordinat yang sesuai dengan yang telah didownload di *SRGI* (Gambar 3.12)

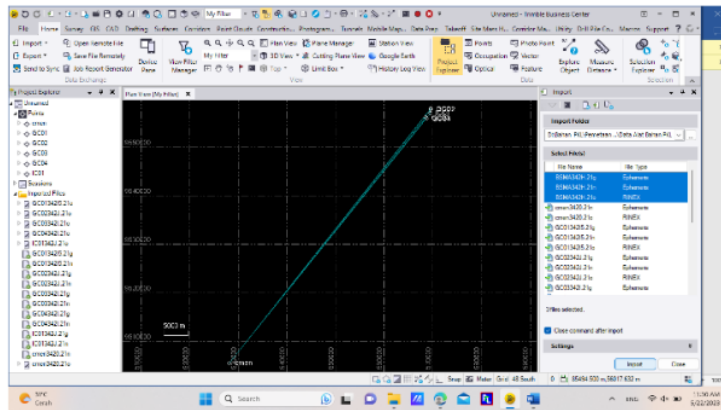


Gambar 3. 12 Koordinat *CORS*

13. Mengubah koordinat menjadi global dan untuk *longitude*, *latitude* dan *height* nya diubah sesuai koordinat geodetik (Gambar 3.13)



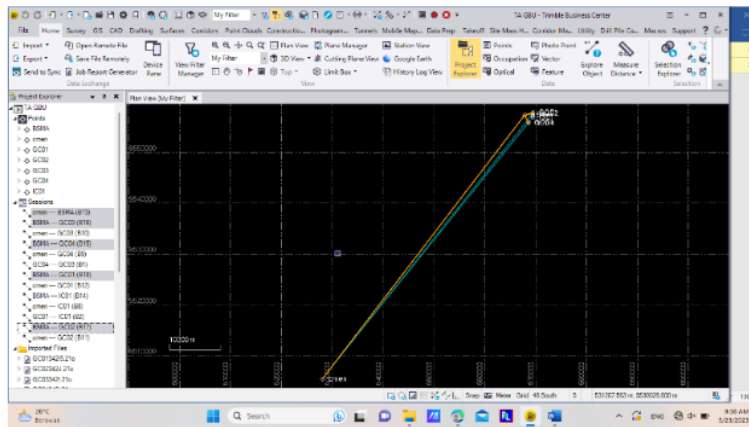
14. Mengklik *import* untuk mengImport titik *GCP* dan *ICP*, masukan titik *GCP*
7
 terlebih dahulu lalu masukan titik *ICP* (Gambar 3.14).



Gambar 3. 13 Ubah Koordinat

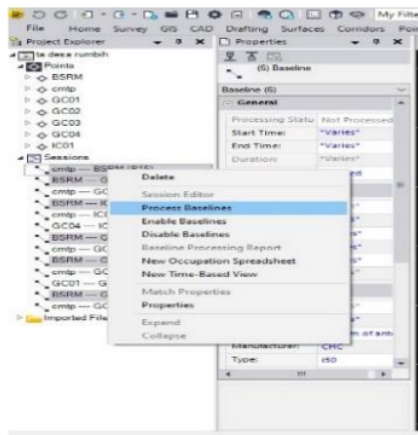
Gambar 3. 14 Import *GCP* dan *ICP*

15. Menggabungkan titik *GCP* dan titik *ICP* ke *BASE* lalu titik *BASE* ke *CROS*, dengan menekan garis yang menghubung, supaya titik *GCP*, *ICP*, *BASE* mengikat ke *CROS* (Gambar 3.15).



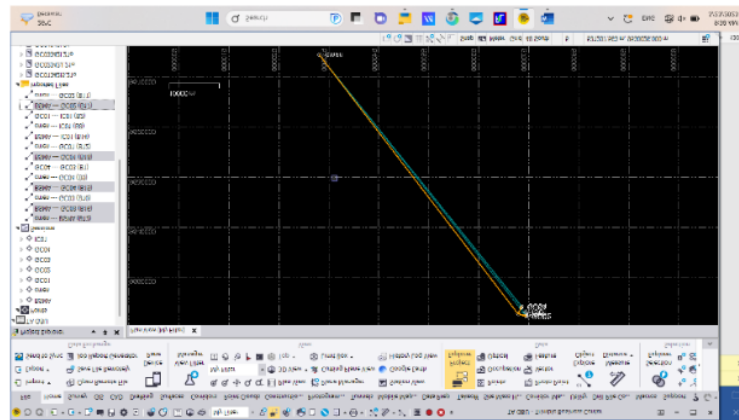
Gambar 3. 15 Tampilan untuk mengikat *GCP* dan *ICP* Terhadap *CORS* dan *BASE*

16. Mengklik kanan pada titik lalu mengklik proses *baseline* untuk menggabungkan titik yang telah digabungkan (Gambar 3.16)



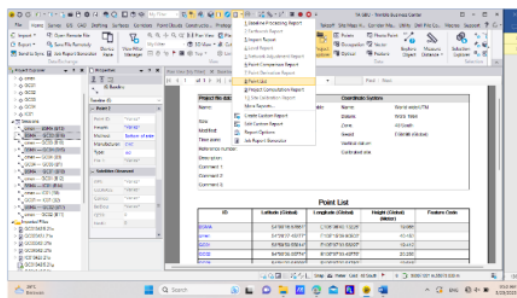
Gambar 3. 16 Proses Baseline

17. Proses *baseline* yang telah selesai garis antar titik *GCP*, *ICP*, *BASE* ke *CROS* berwarna Kuning, itu menandakan proses *baseline* telah selesai di jalankan, seperti pada Gambar 3.17



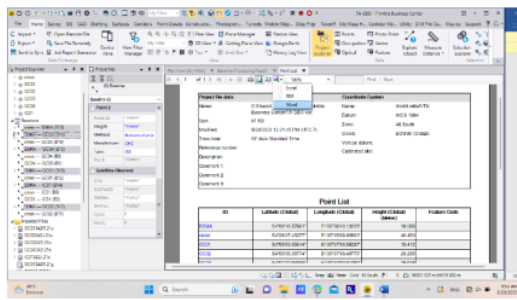
Gambar 3.q 17 Setelah Proses Baseline

18. Mengklik *report* dan download *Baseline Processing Report*, Juga *Point List* (Gambar 3.18).



Gambar 3. 18 Baseline Processing Report

19. Mendownload data PDF dan EXCEL nya saja (Gambar 3.19).



Gambar 3. 19 Download Processing Report

3.7 Pengolahan Data Hasil Drone

Pengolahan data hasil drone menggunakan *software redtoolbox* dan *software agisoft*. *Software redtoolbox* digunakan untuk mengolah data *rinex* dari drone. GPS geodetik yang digunakan harus sudah RTK, kalau belum tidak bisa karena belum ada data *rinex* dari drone. Hal ini adalah salah satu fungsi untuk menggabungkan data *rinex* dari drone dan data alat geodetiknya. Sedangkan *software agisoft* berfungsi untuk mengabungkan jepretan hasil foto dan mengetahui eror yang didapatkan. Berikut langkah-langkah mengolah data hasil drone:

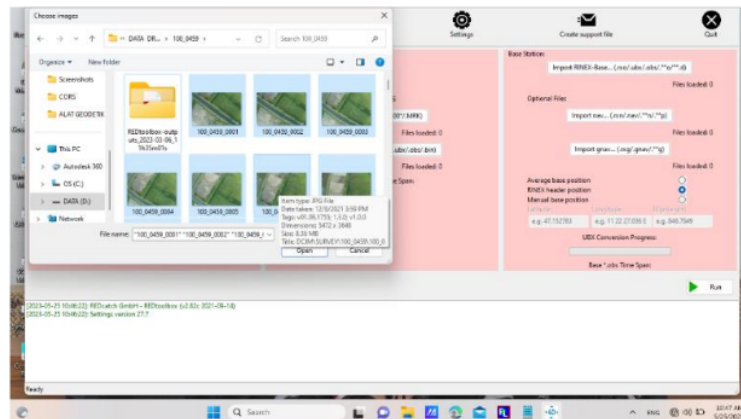
1. Membuka *Software RedToolbox* yang terdapat pada dekstop komputer, maka akan muncul tampilan awal (Gambar 3.20).

10



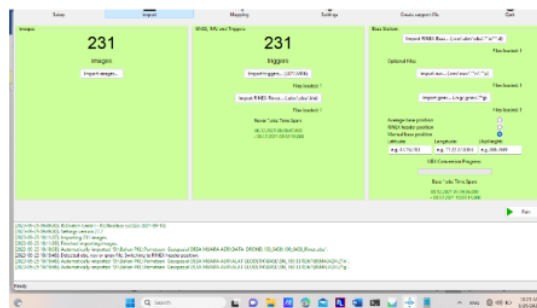
Gambar 3.20 Tampilan Awal Software Redtoolbox

2. Melakukan import bagian *images*, *tiggers* dengan format MRK dan data base dengan format OBS, lalu diubah menjadi *manual base position* dan *longitude*, *latitude* dan *height* diubah sesuai data dari *baselist* (Gambar 3.21)



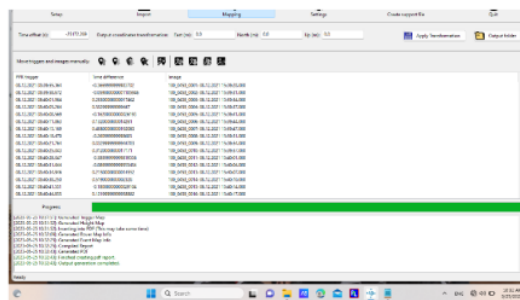
Gambar 3.21 Import Foto Udara

3. Mengklik open, tampilan berwarna hijau artinya semua proses telah dijalankan, mengklik Run untuk proses selanjutnya (Gambar 3.22).



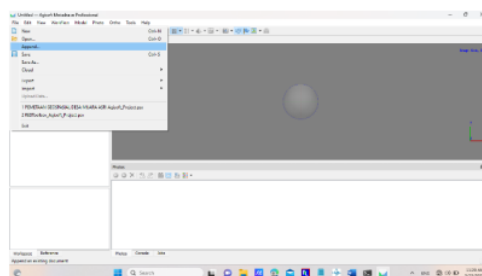
Gambar 3. 22 Import Tigress

4. Biarkan *software* bekerja, sehingga ketika prosesnya selesai muncul bacaan *Output generation completed* (Gambar 3.23).



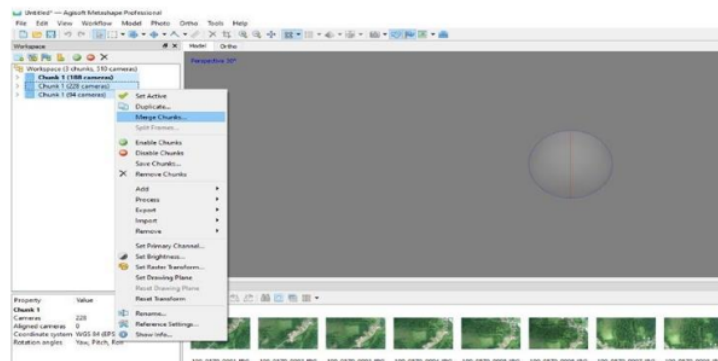
Gambar 3. 23 Output Generation Complate

5. Tahapan Menggabungkan Foto-foto udara menggunakan sofware Agisof, Membuka *Software Agisoft* kemudian pilih file – *append* (Gambar 3.24)



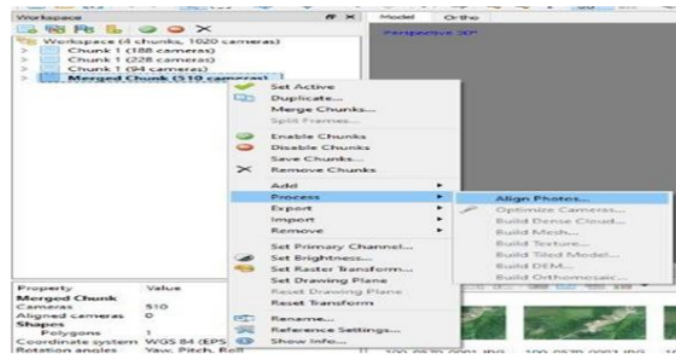
Gambar 3. 24 Letak Menu File dan Append

6. Mengupload semua hasil foto udara untuk ke dalam *software agisoft*, setelah semua foto berhasil di upload kemudian di blok bagian chunk, mengklik kanan lalu pilih *merge chunk* untuk menggabungkan semua foto menjadi satu,kemudian oke (Gambar 3.25).



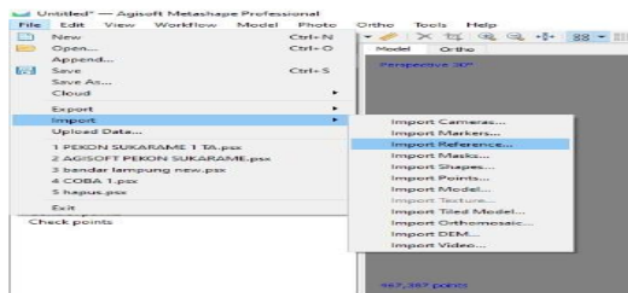
Gambar 3. 25 Letak Menu *Merge Chunk*

7. Menghidupkan fitur camera pada *software agisoft* agar bisa melihat titik jalur terbang, kemudian mengklik kanan *merge chunk* pilih *import*, *import shapefile*, kemudian *import AOI* sebagai batas jalur terbang untuk mengetahui apakah titik foto yang sudah di gabungkan menjadi satu sesuai jalur terbang atau tidak, dan Mengklik kanan pada *merge chunk* pilih proses kemudian *align photo*, untuk menampilkan gabungan photo udara hasil drone (Gambar 3.26).



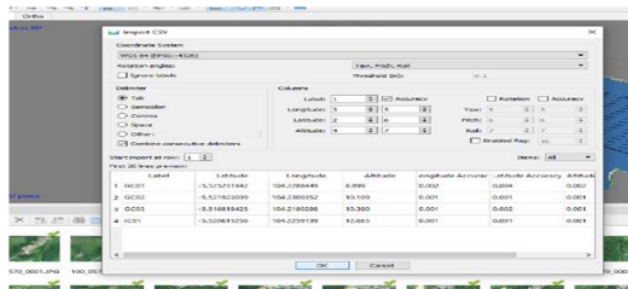
Gambar 3. 26 Letak Menu *align photo*

8. Mengklik import GCP list yang ada di notepad mengklik kanan merge chunk - import - import reference - oke,tampilan seperti pada Gambar 3.27



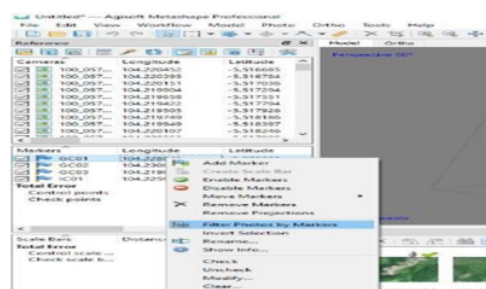
Gambar 3. 27 Menu Import GCP List

9. Masing- masing foto harus di paskan di titik tengah pre-mark dan jika sudah selesai maka akan muncul tampilan gambar bendera, dan dilakukan secara berulang sampai ICP (Gambar 3.28)



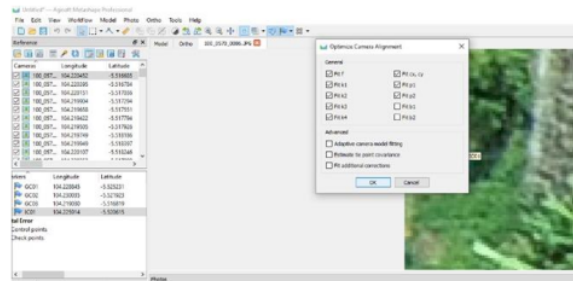
Gambar 3. 28 Menu Setelah Import GCP List

10. Mengklik kanan - filter photos by makers (Gambar 3.29)



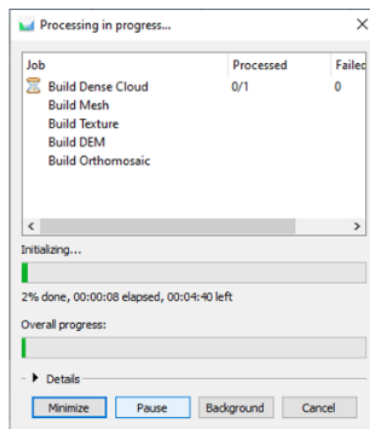
Gambar 3. 29 Tampilan Menu filters by makers

11. Memilih *optimise - f4* di ceklis kemudian oke (Gambar 3.30)



Gambar 3. 30 Tampilan *Optimisize camera alignment*

12. Memilih move region untuk memperluas daerah yang terpotong, Mengklik ¹¹ workflow - bath proses - add - build dense could - build mesh orthomosaic - build texture - dan build mesh, kemudian oke (Gambar 3.31)



Gambar 3. 31 Progres in *Progres Render*

13. Mengklik kanan *chunk*, pilih export, orthomosaic dan hasil *mosaic* nya di *export* ke dalam format (**tiff*) agar bisa di membuka di *Software Arc Gis*, dan tampilan *mosaic* akan (Gambar 3.32).

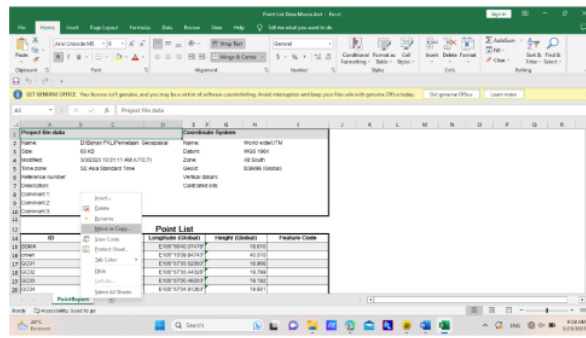


Gambar 3. 32 Hasil Penyatuan Foto Udara

3.8 Uji Akurasi Geometri

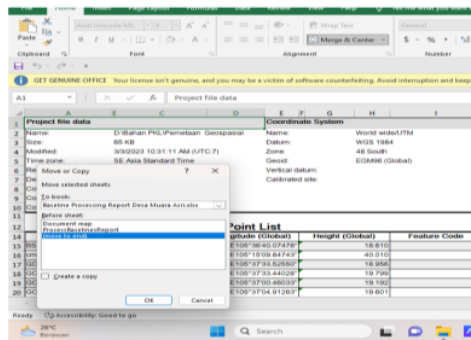
Langkah-langkah untuk menguji akurasi geometri kita menggunakan *software excel* adalah sebagai berikut:

1. Membuka *point list* yang telah didownload , lalu mengklik kanan pada nama sheet setelah itu mengklik anan mengklik *move or copy* (Gambar 3.33).



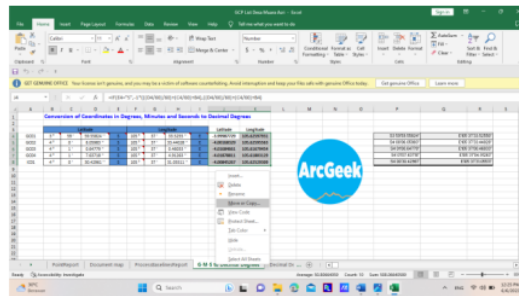
Gambar 3. 33 Menyalin Excel

2. Mengklik to book pilih *baseline processing report* karena akan pindah ke file yang baru lalu pilih *move to end* (Gambar 3.34).



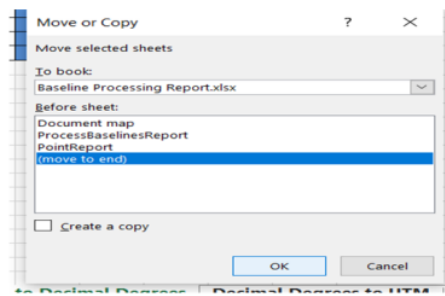
Gambar 3. 34 Memindahkan file Menjadi Satu

3. Mengklik oke, lalu membuka file master *UTM*, mengklik *GMS to Decimal Degrees, Decimal Degrees to UTM, Point dan Point UTM* setelah itu mengklik kanan *Move or Copy* (Gambar 3.35).



Gambar 3. 35 Memindahkan File Master UTM

4. Mengklik file yang ingin di jadikan satu tempat (Gambar 3.36).



Gambar 3. 36 Memindahkan File

5. Mengklik copy koordinat *GCP* dan *ICP* di *point report* (Gambar 3.37)

| | ID | Latitude (Global) | Longitude (Global) |
|----|------|----------------------|---------------------------------------|
| 14 | BSMA | S4°00'16.57871" | E105°36'40.07476" |
| 15 | cmen | S4°28'27.45497" | E105°15'09.84743" |
| 16 | GC01 | S3°59'59.55824" | E105°37'33.52850" |
| 17 | GC02 | S4°00'06.05983" | E105°37'33.44026" |
| 18 | GC03 | S4°01'00.64779" | E105°37'00.46033" |
| 19 | GC04 | S4°01'07.63718" | E105°37'04.91263" |
| 20 | IC01 | S4°00'30.42961" | E105°37'31.05811" |
| 21 | | | |
| 22 | | | |
| 23 | | 3/3/2023 10:32:02 AM | D:\Bahan PKL\Pemetaan Geospasial DESA |
| 24 | | | |
| 25 | | | |
| 26 | | | |
| 27 | | | |

Gambar 3. 37 Menyalin Koordinat *GCP* dan *ICP*

6. Mengklik paste ke *GMS to Decimal Degrees* yang sudah di sediakan tempatnya (Gambar 3.37).

| N | O | P | Q | R | S |
|---|---|---|-----------------|-------------------|---|
| | | | S3°59'59.55824" | E105°37'33.52550" | |
| | | | S4°00'06.05983" | E105°37'33.44026" | |
| | | | S4°01'00.64779" | E105°37'00.46033" | |
| | | | S4°01'07.63718" | E105°37'04.91263" | |
| | | | S4°00'30.42961" | E105°37'31.05811" | |

Gambar 3. 38 Menyalin Koordinat

7. Mengisi dan menyesuaikan dengan koordinat yang telah dicopy kedalam kotak yang bewarna biru untuk dikompres menjadi decimal (Gambar 3.39).

| | Latitude | Longitude |
|------|-------------|---------------|
| BSMA | 4.001657871 | 105.364007476 |
| cmen | 4.282745497 | 105.150984743 |
| GC01 | 3.995955824 | 105.373352850 |
| GC02 | 4.000605983 | 105.373344026 |
| GC03 | 4.010064779 | 105.370046033 |
| GC04 | 4.010763718 | 105.370491263 |
| IC01 | 4.003042961 | 105.373105811 |

Gambar 3. 39 Mengisi Koordinat

8. Menyalin *latitude* dan *longitude* untuk dicompress ke *UTM* (Gambar 3.40).

| | A | B | C | D | E | F | G | H | I | J | K | L | M |
|---|------|------------------|---|--------------------|---|-------------|--------------|---|-----------|---|---|---|---|
| | | | | | | | | | | | | | |
| Conversion of Coordinates in Degrees, Minutes and Seconds to Decimal Degrees | | | | | | | | | | | | | |
| | | Latitude | | Longitude | | | Latitude | | Longitude | | | | |
| 4 | GC01 | 3° 59' 58.824" | S | 105° 37' 33.524" | E | -3.99987729 | 105.61030011 | | | | | | |
| 5 | GC02 | 4° 0' 0.000" | S | 105° 37' 30.622" | E | -4.00000000 | 105.61030000 | | | | | | |
| 6 | GC03 | 4° 1' 54.779" | S | 105° 37' 44.033" | E | -4.01684661 | 105.61039564 | | | | | | |
| 7 | GC04 | 4° 1' 57.718" | S | 105° 37' 49.1263" | E | -4.01787811 | 105.61039329 | | | | | | |
| 8 | IC01 | 4° 0' 30.42963." | S | 105° 37' 31.05511" | E | -4.00845267 | 105.61032909 | | | | | | |
| 9 | | | | | | | | | | | | | |
| 10 | | | | | | | | | | | | | |
| 11 | | | | | | | | | | | | | |
| 12 | | | | | | | | | | | | | |
| 13 | | | | | | | | | | | | | |

Gambar 3.40 Menyalin Latitude dan Longitude

9. Memindahkan file *Decimal Degrees to UTM* (Gambar 3.41).

| | A | B | C | D | E | F | G | H | I | J | K | L | M |
|--|------|------------------|---|--------------------|---|-------------|-------------|--------------|---|--------------------|------------|------|---|
| | | | | | | | | | | | | | |
| Conversion of Coordinates in Decimal Degrees to UTM | | | | | | | | | | | | | |
| | | Latitude | | Longitude | | Easting (X) | | Northing (Y) | | Zone | | Band | |
| 1 | | | | | | 500000.000 | 4519352.000 | 48 | N | 105° 37' 30.622" | 4.00000000 | | |
| 2 | GC01 | 3° 59' 58.824" | S | 105° 37' 33.524" | E | 500000.000 | 4519352.000 | 48 | N | 105° 37' 30.622" | 4.00000000 | | |
| 3 | GC02 | 4° 0' 0.000" | S | 105° 37' 30.622" | E | 500000.000 | 4519352.000 | 48 | N | 105° 37' 30.622" | 4.00000000 | | |
| 4 | GC03 | 4° 1' 54.779" | S | 105° 37' 44.033" | E | 500000.000 | 4519352.000 | 48 | N | 105° 37' 44.033" | 4.01684661 | | |
| 5 | GC04 | 4° 1' 57.718" | S | 105° 37' 49.1263" | E | 500000.000 | 4519352.000 | 48 | N | 105° 37' 49.1263" | 4.01787811 | | |
| 6 | IC01 | 4° 0' 30.42963." | S | 105° 37' 31.05511" | E | 500000.000 | 4519352.000 | 48 | N | 105° 37' 31.05511" | 4.00845267 | | |
| 7 | | | | | | | | | | | | | |
| 8 | | | | | | | | | | | | | |
| 9 | | | | | | | | | | | | | |
| 10 | | | | | | | | | | | | | |
| 11 | | | | | | | | | | | | | |
| 12 | | | | | | | | | | | | | |
| 13 | | | | | | | | | | | | | |

Gambar 3.41 Memindahkan *Latitude dan Longitude*

10. Mengisi *Point GCP* dan *ICP*, sesuai dengan *point list* yang ada (Gambar 3.42).

| | A | B | C | D | E | F | G |
|---|-------|---|---|--------|------------------|-------------------|--------------------|
| | POINT | S | E | HEIGHT | EASTING ERROR | NORTHING ERROR | ELEVATION ERROR |
| 1 | | | | | | | |
| 2 | GC01 | | | | | | |
| 3 | GC02 | | | | | | |
| 4 | GC03 | | | | | | |
| 5 | GC04 | | | | | | |
| 6 | IC01 | | | | | | |
| 7 | | | | | | | |
| 8 | | | | | | | |

Gambar 3.42 *Point GCP* dan *ICP*

11. Mengklik “=” lalu tautkan ke *GMS to decimal degree* yang *latitude* (Gambar 3.43).

| | Latitude | Longitude | Latitude | Longitude |
|---|--------------|----------------|--------------|--------------|
| 4 | 3° 53' 58.5" | 105° 37' 58.5" | -3.999872889 | 105.62597931 |
| 5 | 3° 53' | 105° 37' 53.0" | -4.001683286 | 105.62595563 |
| 6 | 3° 53' | 105° 37' 53.0" | -4.016846608 | 105.61679457 |
| 7 | 3° 53' | 105° 37' 53.0" | -4.018788106 | 105.6180313 |
| 8 | 3° 53' | 105° 37' 53.0" | -4.008452669 | 105.62529309 |

Gambar 3. 43 Mautautkan *latitude*

12. Mengklik *longitude*, lalu tautkan *longitude* sesuai urutannya (Gambar 3.44)

| | A | B | C | D | E | F | G | H | I | J | K | L |
|---|------|--------|-----------|---|----------|-----------|---|--------------|--------------|---|---|---|
| <i>Conversion of Coordinates in Degrees, Minutes and Seconds to Decimal Degrees</i> | | | | | | | | | | | | |
| | | | | | | | | | | | | |
| | | | | | | | | | | | | |
| 4 | GC01 | 3° 59' | 59.55824" | S | 105° 37' | 33.5255" | E | -3.999872889 | 105.62597931 | | | |
| 5 | GC02 | 4° 0' | 6.05983" | S | 105° 37' | 33.44028" | E | -4.001683286 | 105.62595563 | | | |
| 6 | GC03 | 4° 1' | 6.64779" | S | 105° 37' | 0.46033" | E | -4.016846608 | 105.61679457 | | | |
| 7 | GC04 | 4° 1' | 7.63718" | S | 105° 37' | 4.91263" | E | -4.018788106 | 105.6180313 | | | |
| 8 | IC01 | 4° 0' | 30.42961" | S | 105° 37' | 31.05511" | E | -4.008452669 | 105.62529309 | | | |

Gambar 3. 44 Mautautkan *Longitude*

13. Mengisi *Height* tautkan ke tinggi alat geodetiknya (=height pointreport) (Gambar 3.45).

| | A | B | C | D | E | F | G | H | I | J | K |
|---|-------|--------------|--------------|--------|------------------|-------------------|--------------------|---|---|---|---|
| 1 | POINT | S | E | HEIGHT | EASTING ERROR | NORTHING ERROR | ELEVATION ERROR | | | | |
| 2 | GC01 | -3.999872889 | 105.6259793 | | | | | | | | |
| 3 | GC02 | -4.001683286 | 105.62595563 | | | | | | | | |
| 4 | GC03 | -4.016846608 | 105.61679457 | | | | | | | | |
| 5 | GC04 | -4.018788106 | 105.6180313 | | | | | | | | |
| 6 | IC01 | -4.008452669 | 105.62529309 | | | | | | | | |

Gambar 3. 45 Mautautkan Tinggi Alat

14. Mentautkan tinggi alat geodetik *GCP* dan *ICP* dari *point report*(=Height(global) (Gambar 3.46).

| Comment 3: | | |
|------------|----------------------------|------------------------------|
| Point List | | |
| ID | Latitude (Global) | Longitude (Global) |
| BSMA | S $4^{\circ}00'16.57871''$ | E $105^{\circ}36'40.07478''$ |
| cmen | S $4^{\circ}28'27.45497''$ | E $105^{\circ}15'09.84743''$ |
| GCO1 | S $3^{\circ}59'59.55824''$ | E $105^{\circ}37'33.54107''$ |
| GCO2 | S $4^{\circ}00'06.05983''$ | E $105^{\circ}37'33.44026''$ |
| GCO3 | S $4^{\circ}01'00.64779''$ | E $105^{\circ}37'00.46033''$ |
| GCO4 | S $4^{\circ}01'07.63718''$ | E $105^{\circ}37'04.91265''$ |
| IC01 | S $4^{\circ}00'30.42961''$ | E $105^{\circ}37'31.05511''$ |

23 8/3/2023 10:32:02 AM D:\Bahan PKL\Pemetaan Geospasial DESA

Ready PointReport Document map ProcessBaselinesReport Accessibility: Investigate

Gambar 3. 46 Mentautkan Tinggi Alat Dari *Point Report*

15. Mengisi *easting error*, *northing error* dan *elevation error* (Gambar 3.47).

| POINT | S | E | HEIGHT | EASTING ERROR | NORTHING ERROR | ELEVATION ERROR |
|-------|--------------|-------------|--------|------------------|-------------------|--------------------|
| GCO1 | -3.999877289 | 105.6259793 | 18.610 | | | |
| GCO2 | -4.001683286 | 105.6179457 | 18.600 | | | |
| GCO3 | -4.016846608 | 105.6167945 | 18.956 | | | |
| GCO4 | -4.018788106 | 105.6180313 | 19.799 | | | |
| IC01 | -4.008452669 | 105.6252931 | 19.192 | | | |

Ready G-M-S to Decimal Degrees Decimal Degrees to UTM point point Utm Accessibility: Investigate

Gambar 3. 47 Mengisi Tabel

16. Mengklik sheet process *baseline report* lalu pilih dari *GCP 1*, lalu lihat standar errornya setelah itu isi *easting error* , *northing error* dan *elevation error* nya (Gambar 3.48).

| | | | | | | | | | | | | | | | | | | | | | |
|--|---------------|------------------------|---|---|---|---|---|---|---|---|-----|---|-----|-----|-------------|----|-------------|----|----|----|--|
| AH123 | A | C | E | F | G | H | I | J | K | L | MNO | P | QRT | UVW | XZAAI | AD | AGAA(AH)A | AK | AL | AM | |
| Altitude | 0.295 m | Allheight | | | | | | | | | | | | | 0.346 m | AZ | 521.513 m | | | | |
| Standard Errors: | | | | | | | | | | | | | | | | | | | | | |
| Vector errors: | | | | | | | | | | | | | | | | | | | | | |
| ΔAzimuth | 0.001 m | ΔNS fed Azimuth | | | | | | | | | | | | | 0.0000° | ΔX | 0.001 m | | | | |
| ΔNorthing | 0.001 m | ΔE fed Ellipsoid Dist. | | | | | | | | | | | | | 0.001 m | ΔY | 0.002 m | | | | |
| ΔElevation | 0.002 m | ΔAllheight | | | | | | | | | | | | | 0.002 m | ΔZ | 0.001 m | | | | |
| Apriori Covariance Matrix (Meter) | | | | | | | | | | | | | | | | | | | | | |
| X | 0.000000859 | | | | | | | | | | | | | | | | | | | | |
| Y | -0.000000981 | | | | | | | | | | | | | | 0.000002829 | | | | | | |
| Z | -0.0000001969 | | | | | | | | | | | | | | 0.000000987 | | 0.000004621 | | | | |

Ready Document map ProcessBaselinesReport G-M-S to Decimal Degrees Decimal Degrees to UTM Accessibility: Investigate

Gambar 3. 48 Mengisi Tabel

17. Mengklik *Point UTM*, kemudian diisi dengan nama nama titik *GCP* dan *ICP* (Gambar 3.49).

| A | B | C | D | E | F | G | H |
|----|-------|---|---|--------|------------------|-------------------|--------------------|
| 1 | POINT | X | Y | HEIGHT | EASTING ERROR | NORTHING ERROR | ELEVATION ERROR |
| 2 | GCP1 | | | | | | |
| 3 | GCP2 | | | | | | |
| 4 | GCP3 | | | | | | |
| 5 | GCP4 | | | | | | |
| 6 | ICP1 | | | | | | |
| 7 | | | | | | | |
| 8 | | | | | | | |
| 9 | | | | | | | |
| 10 | | | | | | | |
| 11 | | | | | | | |
| 12 | | | | | | | |
| 13 | | | | | | | |
| 14 | | | | | | | |
| 15 | | | | | | | |

Gambar 3. 49 Point UTM

18. Mentautkan titik *GCP* 1 koordinat X ke *Decimal Degrees to UTM X* (Gambar 3.50)

| Conversion of Coordinates in Decimal Degrees to UTM | | | | | | | | | |
|---|--------------|-----------------|-------------|------------|-------------|------|------|------|--|
| Enter your coordinates | | Decimal Degrees | | UTM | | | | De | |
| | | Latitude | Longitude | East (X) | North (Y) | Zone | Band | L | |
| DATUM_WGS84 | | -3.998773 | 105.625979 | 569488.666 | 9557859.697 | 48 | M | 39 S | |
| a (semi major axis) | 6378137 | -4.001683 | 105.625956 | 569488.666 | 9557860.000 | 48 | M | 40 | |
| b (semi minor axis) | 6354732.114 | -4.001683 | 105.625956 | 569488.666 | 9557860.000 | 48 | M | 40 | |
| Eccentricity | 0.001971951 | -3.998773 | 105.625979 | 569488.666 | 9557859.697 | 48 | M | 39 S | |
| 2d Eccentricity (e^2) | 0.006794418 | -3.997931 | 105.645207 | 569488.677 | 9558052.548 | 48 | M | 39 S | |
| e^3 | 0.006794087 | -3.997930 | 105.649810 | 569488.689 | 9559353.625 | 48 | M | 39 S | |
| c (polar radius of curvature) | 63995016.626 | -3.9727353 | 105.5263660 | 558434.597 | 9560867.730 | 48 | M | 39 S | |
| | | -3.9623948 | 105.5272798 | 558343.545 | 9562010.708 | 48 | M | 39 S | |

Gambar 3. 50 Mentautkan Decimal Degrees to UTM

19. Mengisi koordinat X lalu ke koordinat Y , tautkan ke *Decimal degrees To UTM* (Gambar 3.51).

| A | B | C | D | E | F | G | H | I |
|----|-------|-------------|-------------|--------|------------------|-------------------|--------------------|---|
| 1 | POINT | X | Y | HEIGHT | EASTING ERROR | NORTHING ERROR | ELEVATION ERROR | |
| 2 | GCP1 | 569488.6663 | 9557859.697 | | | | | |
| 3 | GCP2 | 569485.8862 | 9557860.000 | | | | | |
| 4 | GCP3 | 568467.6329 | 9555984.648 | | | | | |
| 5 | GCP4 | 568604.7621 | 9555769.928 | | | | | |
| 6 | ICP1 | 569411.765 | 9556911.815 | | | | | |
| 7 | | | | | | | | |
| 8 | | | | | | | | |
| 9 | | | | | | | | |
| 10 | | | | | | | | |
| 11 | | | | | | | | |
| 12 | | | | | | | | |
| 13 | | | | | | | | |
| 14 | | | | | | | | |
| 15 | | | | | | | | |
| 16 | | | | | | | | |

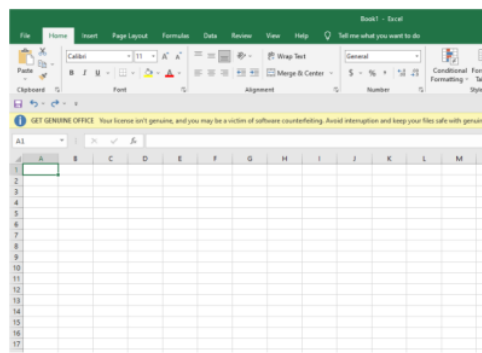
Gambar 3. 51 Koordinat Y

20. Mengisi *height*, *easting error*, *northing error* dan *elevation error*nya sesuai dengan *sheet point* (Gambar 3.52).

| POINT | X | Y | HEIGHT | EASTING ERROR | NORTHING ERROR | ELEVATION ERROR |
|-------|-------------|--------------|--------|------------------|-------------------|--------------------|
| GCO1 | 569488.6663 | 9557859.697 | 18.610 | 0.001 | 0.002 | 0.001 |
| GCO2 | 569485.8862 | 9557859.697 | 18.610 | 0.001 | 0.002 | 0.001 |
| GCO3 | 568467.6329 | 9555984.6487 | 18.956 | 0.001 | 0.002 | 0.001 |
| GCO4 | 568604.7621 | 9555769.928 | 19.799 | 0.001 | 0.002 | 0.001 |
| ICO1 | 569411.765 | 9556911.815 | 19.192 | 0.001 | 0.002 | 0.001 |

Gambar 3. 52 Sheet Point UTM

21. Membuka menu Excel baru (Gambar 3.53)



Gambar 3. 53 Membuka Excel Baru

22. Mengisi tabel seperti pada gambar, lalu isi lebel dengan nama *gcp* dan *icp* (Gambar 3.54).

| NO | LABEL | Map-Derived Values | | Survey GCP & CP Values | | ΔX | ΔY |
|----|-------|--------------------|-------|------------------------|-------|------------|------------|
| | | X (m) | Y (m) | X (m) | Y (m) | | |
| 1 | GCP1 | | | | | | |
| 2 | GCP2 | | | | | | |
| 3 | GCP3 | | | | | | |
| 4 | GCP4 | | | | | | |
| 5 | GCP5 | | | | | | |
| 10 | ICP1 | | | | | | |
| 11 | ICP2 | | | | | | |
| 12 | ICP3 | | | | | | |
| 13 | ICP4 | | | | | | |
| 14 | ICP5 | | | | | | |

Gambar 3. 54 Mengisi Tabel

23. Mengklik *move or copy* file yang didapat dari digitasi maker atau *GCP* dan *ICP* nya (Gambar 3.54).

| FID | Id | POINT_X | POINT_Y |
|-----|----|-------------|-------------|
| 0 | 0 | 569485.6833 | 9557859.695 |
| 1 | 0 | 569485.3961 | 9557860.44 |
| 2 | 0 | 569411.7296 | 9556911.542 |
| 3 | 0 | 569411.4152 | 9556904.476 |
| 4 | 0 | 569404.8894 | 9556904.402 |

Gambar 3. 55 File Titik Digitasi *GCP* dan *ICP*

24. Menyalin titik digitasi *GCP* dan *ICP* dipindahkan ke titik pengukuran *GCP* dan *ICP* yaitu titik yang sebenarnya di lapangan (Gambar 3.56).

| FID | POINT | X | Y | HEIGHT |
|-----|-------|-------------|-------------|--------|
| 0 | GC01 | 569485.6663 | 9557859.697 | 18.632 |
| 1 | GC02 | 569485.8962 | 9557860.06 | 18.515 |
| 2 | GC03 | 569411.7296 | 9556911.549 | 18.964 |
| 3 | GC04 | 569411.4152 | 9556904.479 | 18.999 |
| 4 | GC05 | 569404.8894 | 9556904.402 | 18.293 |

Gambar 3. 56 Titik Pengukuran *GCP* dan *ICP*

25. Menggabungkan excel titik *GCP* dan *ICP* ke excel Titik pengukuran *GCP* dan *ICP*, gabungkan kembali excel uji akurasi, supaya gampang mentautkan (Gambar 3.57).

| NO | LABEL | Map-Derived Values | | Survey GCP & CP Values | | ΔX | ΔY |
|----|-------|--------------------|-------|------------------------|-------------|------------|------------|
| | | X (m) | Y (m) | X (m) | Y (m) | | |
| 1 | GC01 | | | 569485.6663 | 9557859.697 | 18.632 | |
| 2 | GC02 | | | 569485.8962 | 9557860.06 | 18.515 | |
| 3 | GC03 | | | 569411.7296 | 9556911.549 | 18.964 | |
| 4 | GC04 | | | 569411.4152 | 9556904.479 | 18.999 | |
| 5 | GC05 | | | 569404.8894 | 9556904.402 | 18.293 | |

Gambar 3. 57 Menggabungkan File excel

26. Mengisi tabel *Map-Derived Values* nya dengan excel titik digitasi *GCP* dan *ICP*, menggunakan koordinat yang telah digitasi, sesuai dengan koordinat X dan YG (Gambar 3.57)

| NO | LABEL | Map-Derived Values | | Survey GCP & CP Values | | ΔX (m) | ΔY (m) |
|----|-------|--------------------|------------|------------------------|-------------|-------------------|-------------------|
| | | X (m) | Y (m) | X (m) | Y (m) | | |
| 1 | GCP1 | 569488.846 | 9557859.41 | 569488.6663 | 9557859.697 | -0.182 | -0.281 |
| 2 | GCP2 | 569485.996 | 9557660.44 | 569485.8862 | 9557660.06 | -0.114 | -0.396 |
| 3 | GCP3 | 569411.73 | 9556911.94 | 569467.6329 | 9555984.648 | -55.634 | -1.306 |
| 4 | GCP4 | 568467.415 | 9555984.98 | 568604.7621 | 9555769.928 | -17.246 | -2.058 |
| 5 | GCP5 | 568604.886 | 9555769.8 | 569411.765 | 9556911.815 | -17.121 | -1.929 |

Gambar 3. 58 Mengisi *map-derived values*

27. Mengisi tabel *Survey GCP & ICP Values* yang di dapat dari koordinat point UTM yaitu titik pengukuran *GCP* dan *ICP*. Sesuaikan dengan masing masing koordinat X dan Y (Gambar 3.58).

| NO | LABEL | Map-Derived Values | | Survey GCP & CP Values | | ΔX (m) | ΔY (m) |
|----|-------|--------------------|------------|------------------------|-------------|-------------------|-------------------|
| | | X (m) | Y (m) | X (m) | Y (m) | | |
| 5 | GCP1 | 569488.846 | 9557859.41 | 569488.6663 | 9557859.697 | -0.182 | -0.281 |
| 6 | GCP2 | 569485.996 | 9557660.44 | 569485.8862 | 9557660.06 | -0.114 | -0.396 |
| 7 | GCP3 | 569411.73 | 9556911.94 | 569467.6329 | 9555984.648 | -55.634 | -1.306 |
| 8 | GCP4 | 568467.415 | 9555984.98 | 568604.7621 | 9555769.928 | -17.246 | -2.058 |
| 9 | GCP5 | 568604.886 | 9555769.8 | 569411.765 | 9556911.815 | -17.121 | -1.929 |

Gambar 3. 59 Mengisi Tabel Survey *GCP* dan *ICP*

28. Mengisi tabel delta X yaitu mengurangi koordinat X *Map-Derived Values* dengan koordinat X *Survey GCP & ICP Values* (Gambar 3.60).

| NO | LABEL | Map-Derived Values | | Survey GCP & CP Values | | ΔX (m) | ΔY (m) |
|----|-------|--------------------|-------------|------------------------|-------------|-------------------|-------------------|
| | | X (m) | Y (m) | X (m) | Y (m) | | |
| 5 | GCP1 | 569488.846 | 9557859.408 | 569488.666 | 9557859.697 | -0.182 | -0.281 |
| 6 | GCP2 | 569485.996 | 9557660.440 | 569485.886 | 9557660.000 | -0.114 | -0.396 |
| 7 | GCP3 | 569411.73 | 9556911.979 | 569467.633 | 9555984.648 | -55.634 | -1.306 |
| 8 | GCP4 | 568467.415 | 9555984.979 | 568604.762 | 9555769.928 | -17.246 | -2.058 |
| 9 | GCP5 | 568604.886 | 9555769.8 | 569411.765 | 9556911.815 | -17.121 | -1.929 |

Gambar 3. 60 Mengisi Delta X

29. Mengisi tabel delta Y yaitu mengurangi koordinat Y *Map-Derived Values* dengan koordinat Y *Survey GCP & ICP Values* (Gambar 3.61).

| NO | LABEL | Map-Derived Values | | Survey GCP & CP Values | | ΔX | ΔY |
|----|--------|--------------------|-------------|------------------------|-------------|------------|------------|
| | | X (m) | Y (m) | X (m) | Y (m) | (m) | (m) |
| 5 | 1 GC01 | 569488.846 | 9577859.408 | 569488.666 | 9577859.697 | + 0.179 | +0.289 |
| 6 | 2 GC02 | 569451.996 | 9577660.440 | 569451.886 | 9577660.360 | 0.110 | 0.380 |
| 7 | 3 GC03 | 568467.415 | 9575984.979 | 568467.633 | 9575984.648 | -0.218 | 0.331 |
| 8 | 4 GC04 | 568604.886 | 9575769.879 | 568604.762 | 9575769.928 | 0.124 | -0.126 |
| 9 | 5 GC05 | 569411.730 | 956911.942 | 569411.785 | 956911.815 | -0.055 | 0.127 |

Gambar 3. 61 Mengisi Delta Y

30. Mengisi jumlah *GCP* dan *ICP* (Gambar 3.62)

| NO | LABEL | Map-Derived Values | | Survey GCP & CP Values | | ΔX | ΔY |
|----|--------|--------------------|-------------|------------------------|-------------|------------|------------|
| | | X (m) | Y (m) | X (m) | Y (m) | (m) | (m) |
| 5 | 1 GC01 | 569488.846 | 9577859.408 | 569488.666 | 9577859.697 | + 0.179 | +0.289 |
| 6 | 2 GC02 | 569451.996 | 9577660.440 | 569451.886 | 9577660.360 | 0.110 | 0.380 |
| 7 | 3 GC03 | 568467.415 | 9575984.979 | 568467.633 | 9575984.648 | -0.218 | 0.331 |
| 8 | 4 GC04 | 568604.886 | 9575769.879 | 568604.762 | 9575769.928 | 0.124 | -0.126 |
| 9 | 5 GC05 | 569411.730 | 956911.942 | 569411.785 | 956911.815 | -0.055 | 0.127 |

| | | |
|---|----|----|
| Number of Check Points | \$ | \$ |
| Mean Error (m) | | |
| Standard Deviation (m) | | |
| RMSE (m) | | |
| RMSEr (m) | | |
| Horizontal Accuracy, (ACCr) at 95% Confidence Level | | |

Gambar 3. 62 Mengisi Tabel

31. Mengisi berapa banyak titik *GCP* dan *ICP* tersebut di *number of check point*, seperti pada Gambar 3.63

| NO | LABEL | Map-Derived Values | | Survey GCP & CP Values | | ΔX | ΔY |
|----|--------|--------------------|-------------|------------------------|-------------|------------|------------|
| | | X (m) | Y (m) | X (m) | Y (m) | (m) | (m) |
| 5 | 1 GC01 | 569488.846 | 9577859.408 | 569488.666 | 9577859.697 | + 0.179 | +0.289 |
| 6 | 2 GC02 | 569451.996 | 9577660.440 | 569451.886 | 9577660.360 | 0.110 | 0.380 |
| 7 | 3 GC03 | 568467.415 | 9575984.979 | 568467.633 | 9575984.648 | -0.218 | 0.331 |
| 8 | 4 GC04 | 568604.886 | 9575769.879 | 568604.762 | 9575769.928 | 0.124 | -0.126 |
| 9 | 5 GC05 | 569411.730 | 956911.942 | 569411.785 | 956911.815 | -0.055 | 0.127 |

| | | |
|---|----|----|
| Number of Check Points | \$ | \$ |
| Mean Error (m) | | |
| Standard Deviation (m) | | |
| RMSE (m) | | |
| RMSEr (m) | | |
| Horizontal Accuracy, (ACCr) at 95% Confidence Level | | |

Gambar 3. 63 Memasukkan Jumlah GCP dan ICP

32. Mengisi *means error* dengan menjumlahkan seluruh delta X lalu di bagi dengan jumlah titik *GCP* dan *ICP* (Gambar 3.63).

| NO | LABEL | Map Derived Values | | Survey GCP & CP Values | | ΔX | ΔY |
|----|-------|--------------------|-------------|------------------------|-------------|------------|------------|
| | | X (m) | Y (m) | X (m) | Y (m) | (m) | (m) |
| 1 | GCE1 | 500401.348 | 9177079.408 | 500401.348 | 9177079.407 | 0.179 | -0.289 |
| 2 | GCE2 | 500401.396 | 9177080.448 | 500401.398 | 9177080.461 | 0.110 | 0.380 |
| 3 | GCE3 | 500401.413 | 9177081.479 | 500401.413 | 9177081.461 | -0.216 | 0.331 |
| 4 | GCE4 | 500401.430 | 9177082.508 | 500401.430 | 9177082.512 | 0.129 | 0.259 |
| 5 | GCE5 | 500401.730 | 9178011.842 | 500401.730 | 9178011.831 | -0.005 | 0.327 |

Gambar 3. 64 Mengisi *Means Error* Koordinat X

33. Mengisi *mean error* delta Y dengan menjumlahkan seluruh delta Y lalu di bagi jumlah titik *GCP* dan *ICP* (Gambar 3.65).

| NO | LABEL | Map Derived Values | | Survey GCP & CP Values | | ΔX | ΔY |
|----|-------|--------------------|-------------|------------------------|-------------|------------|------------|
| | | X (m) | Y (m) | X (m) | Y (m) | (m) | (m) |
| 1 | GCE1 | 500401.348 | 9177079.408 | 500401.348 | 9177079.407 | 0.179 | -0.289 |
| 2 | GCE2 | 500401.396 | 9177080.448 | 500401.398 | 9177080.461 | 0.110 | 0.380 |
| 3 | GCE3 | 500401.413 | 9177081.479 | 500401.413 | 9177081.461 | -0.216 | 0.331 |
| 4 | GCE4 | 500401.430 | 9177082.508 | 500401.430 | 9177082.512 | 0.129 | 0.259 |
| 5 | GCE5 | 500401.730 | 9178011.842 | 500401.730 | 9178011.831 | -0.005 | 0.327 |

Gambar 3. 65 Mengisi Tabel *Means Error* Y

34. Membuat tabel *RMSE* untuk *error position* (Gambar 3.65)

| I | J | K | L | M |
|--------------------------|--------------------------|--------------|--------------|---|
| $(\Delta X - \bar{X})^2$ | $(\Delta Y - \bar{Y})^2$ | ΔX^2 | ΔY^2 | |
| (m) | (m) | (m) | (m) | |

Gambar 3. 66 Membuat New Tabel

35. Mengisi rumus *Rmse* yaitu dengan mengurangi delta X dengan *Mean error* lalu di pangkatkan 2 (Gambar 3.67).

| P & CP Values | ΔX | ΔY | $(\Delta X - \bar{X})^2$ | b |
|---------------|------------|------------|--------------------------|-----|
| Y (m) | (m) | (m) | | |
| 9557050.397 | 0.179 | -0.289 | | |
| 9555760.060 | 0.110 | 0.380 | | |
| 9555364.648 | -0.216 | 0.331 | | |
| 9555763.328 | 0.124 | -0.128 | | |
| 95556311.815 | -0.005 | 0.327 | | |

| Number of Check Points | S | S |
|------------------------|-----------|-----------|
| Mean Error (m) | 0.0320822 | 0.0845922 |
| Standard Deviation (m) | | |
| RMSE (m) | | |
| RMSE _r (m) | | |
| Confidence Level | | |

Gambar 3. 67 Rumus RMSE Error Delta x

36. Mengisi rumus Rmse yaitu dengan mengurangi delta Y dengan *mean error* lalu dipangkatkan 2 (Gambar 3.68).

| Survey GPS & CP Values | | ΔX | ΔY | $t(X-X2)$ | | $ t(Y-Y2) ^2$ | $\Delta X2$ | $\Delta Y2$ | |
|---------------------------|-------------|------------|------------|-----------|-----|---------------|-------------|-------------|--|
| # | V (m) | [m] | [m] | [m] | [m] | [m] | [m] | [m] | |
| 10.666 | 9557653.657 | 0.179 | -0.289 | | | | | | |
| 15.056 | 9557660.060 | 0.110 | 0.380 | | | | | | |
| 17.632 | 9557660.040 | -0.118 | 0.331 | | | | | | |
| 18.762 | 9555769.926 | 0.124 | -0.124 | | | | | | |
| 11.765 | 9555911.076 | -0.028 | 0.127 | | | | | | |
| Number of Check Points | | 5 | 5 | | | | | | |
| Mean Error (m) | | 0.0320822 | 0.0845932 | | | | | | |
| Standard Deviation (m) | | | | | | | | | |
| RMSE (m) | | | | | | | | | |
| RMSE ² (m) | | | | | | | | | |
| J at 95% Confidence Level | | | | | | | | | |

Gambar 3. 68 Rumus RMSE Error Delta Y

37. Mengisi tabel selanjutnya yaitu Rmse yang X pangkatkan 2 delta x (Gambar 3.69).

| S | | ΔX | ΔY | $t(X-X2)$ | | $ t(Y-Y2) ^2$ | $\Delta X2$ | $\Delta Y2$ | |
|---------------------------|-------------|------------|------------|-----------|-----|---------------|-------------|-------------|--|
| # | V (m) | [m] | [m] | [m] | [m] | [m] | [m] | [m] | |
| 10.667 | 9557653.659 | 0.179 | -0.289 | | | | | | |
| 10.060 | 9557660.060 | 0.110 | 0.380 | | | | | | |
| 14.648 | 9557660.040 | -0.118 | 0.331 | | | | | | |
| 18.928 | 9555769.926 | 0.124 | -0.124 | | | | | | |
| 11.765 | 9555911.076 | -0.028 | 0.127 | | | | | | |
| k Points | | 5 | 5 | | | | | | |
| Error (m) | | 0.0320822 | 0.0845932 | | | | | | |
| MSE (m) | | | | | | | | | |
| RMSE (m) | | | | | | | | | |
| RMSE ² (m) | | | | | | | | | |
| J at 95% Confidence Level | | | | | | | | | |

Gambar 3. 69 Mengisi Rmse Delta x Pangkat Dua

38. Mengisi Rmse Error yang Y (Gambar 3.70).

| S | | ΔY | $t(X-X2)$ | | $ t(Y-Y2) ^2$ | $\Delta X2$ | $\Delta Y2$ |
|---------------------------|--------|------------|-----------|-----|---------------|-------------|-------------|
| # | V (m) | [m] | [m] | [m] | [m] | [m] | [m] |
| 79 | -0.289 | | | | | | |
| 10 | 0.380 | | | | | | |
| 18 | 0.331 | | | | | | |
| 24 | -0.124 | | | | | | |
| 35 | 0.127 | | | | | | |
| k Points | | 5 | 5 | | | | |
| Error (m) | | 0.0845932 | | | | | |
| MSE (m) | | | | | | | |
| RMSE (m) | | | | | | | |
| RMSE ² (m) | | | | | | | |
| J at 95% Confidence Level | | | | | | | |

Gambar 3. 70 Mengisi Rmse Delta Y Pangkat Dua

39. Menjumlahkan semua rumus Rmse Error nya (Gambar 3.71).

| S | | ΔY | $t(X-X2)$ | | $ t(Y-Y2) ^2$ | $\Delta X2$ | $\Delta Y2$ |
|-----------|--------|------------|-----------|-----|---------------|-------------|-------------|
| # | V (m) | [m] | [m] | [m] | [m] | [m] | [m] |
| 79 | -0.289 | | | | | | |
| 10 | 0.380 | | | | | | |
| 18 | 0.331 | | | | | | |
| 24 | -0.124 | | | | | | |
| 35 | 0.127 | | | | | | |
| SUM | | | | | | | |
| S | | 0.0845932 | | | | | |
| 0.0845932 | | | | | | | |

Gambar 3. 71 Menjumlahkan Rumus Rmse Error

40. Mengisi *Standard Deviation*, dengan formula = $SQRT$ lalu jumlah dari Rmse error X di bagi dengan jumlah titik GCP dan ICP di kurang 1 (Gambar 3.72).

| F | G | H | I | J |
|-------------------------------|------------|----------------------------------|--------------------------|--------------------------|
| Survey GCP & CP Values | ΔX | ΔY | $(\Delta X - \bar{X})^2$ | $(\Delta Y - \bar{Y})^2$ |
| Y (m) | (m) | (m) | (m) | (m) |
| 66 9557853.637 | 0.179 | -0.289 | | 0.022 |
| 66 9557660.060 | 0.110 | 0.380 | | 0.006 |
| 33 9555904.648 | -0.218 | 0.331 | | 0.062 |
| 62 9555763.928 | 0.124 | -0.126 | | 0.008 |
| 35 9556911.015 | -0.035 | 0.127 | | 0.005 |
| Number of Check Points | | 5 | 5 | SUM |
| Mean Error (m) | | 0.03208 | 0.0845922 | |
| Standard Deviation (m) | | $SQRT(10/5-1)$ | | |
| RMSE (m) | | | | |
| RMSEr (m) | | | | |
| 95% Confidence Level | | | | |

Gambar 3. 72 Standar Devitiation X

41. Mengisi *Standard Deviation*, dengan formula = $SQRT$ lalu jumlah dari Rmse error Y di bagi dengan jumlah titik GCP dan ICP di kurang 1 (Gambar 3.73).

| F | G | H | I | J | K |
|-------------------------------|------------|----------------------------------|--------------------------|--------------------------|--------------|
| GCP & CP Values | ΔX | ΔY | $(\Delta X - \bar{X})^2$ | $(\Delta Y - \bar{Y})^2$ | |
| X (m) | (m) | (m) | (m) | (m) | |
| 1 9557853.637 | 0.179 | -0.289 | 0.022 | 0.139 | |
| 2 9557660.060 | 0.110 | 0.380 | 0.006 | 0.087 | |
| 3 9555904.648 | -0.218 | 0.331 | 0.062 | 0.061 | |
| 4 9555763.928 | 0.124 | -0.126 | 0.008 | 0.044 | |
| 5 9556911.015 | -0.035 | 0.127 | 0.005 | 0.002 | |
| Number of Check Points | | 5 | 5 | SUM | 0.303 |
| Mean Error (m) | | 0.03208 | 0.0845922 | | 0.339 |
| Standard Deviation (m) | | $SQRT(10/5-1)$ | | | |
| RMSE (m) | | | | | |
| RMSEr (m) | | | | | |
| 95% Confidence Level | | | | | |

Gambar 3. 73 Standar Deviation Y

42. Mengisi RMSE dengan formula = $SQRT$ dengan Rmse Error X di bagi dengan jumlah titik GCP dan ICP (Gambar 3.74).

| E | F | G | H | I | J | K | L |
|--|-------------|----------------------------------|--------------------------|--------------------------|--------------|--------------|--------------|
| Survey GCP & CP Values | ΔX | ΔY | $(\Delta X - \bar{X})^2$ | $(\Delta Y - \bar{Y})^2$ | ΔX^2 | | |
| X(m) | Y(m) | (m) | (m) | (m) | (m) | | |
| 563405.669 | 9557853.637 | 0.179 | -0.289 | 0.022 | 0.139 | 0.03222 | |
| 563405.896 | 9557660.060 | 0.110 | 0.380 | 0.006 | 0.087 | 0.01111 | |
| 563407.633 | 9555904.648 | -0.218 | 0.331 | 0.062 | 0.061 | 0.0474 | |
| 563404.762 | 9555763.928 | 0.124 | -0.126 | 0.008 | 0.044 | 0.0154 | |
| 563411.705 | 9556911.015 | -0.035 | 0.127 | 0.005 | 0.002 | 0.0013 | |
| Number of Check Points | | 5 | 5 | SUM | 0.303 | 0.339 | 0.108 |
| Mean Error (m) | | 0.03208 | 0.0845922 | | | | |
| Standard Deviation (m) | | $SQRT(10/5-1)$ | 0.14428 | | | | |
| RMSE (m) | | | | | | | |
| RMSEr (m) | | | | | | | |
| 95% (ACC) at 95% Confidence Level | | | | | | | |

Gambar 3. 74 RMSE Koordinat X

43. Mengisi RMSE Eror Y dengan formula = $SQRT(MI7/F17)$ (Gambar 3.75).

| No | X(m) | ΔX | ΔY | ΔZ | AVG |
|------------------------|---------|--------------|------------|------------|--------|
| | | (m) | (m) | | |
| 695.577 | 0.179 | 0.288 | 0.002 | -0.139 | 0.0122 |
| 690.990 | 0.110 | 0.380 | 0.006 | 0.087 | 0.0121 |
| 593.538 | -0.138 | 0.331 | 0.061 | 0.061 | 0.0174 |
| 763.525 | 0.154 | 0.311 | 0.031 | 0.031 | 0.0159 |
| 571.975 | -0.025 | 0.127 | 0.006 | 0.002 | 0.0013 |
| Rock Points | | 5 | 5 | 0.105 | 0.333 |
| n Error (m) | 0.03208 | 0.08459 | | | |
| Standard Deviation (m) | 0.08020 | 0.14423 | | | |
| RMSE (m) | 0.08088 | =SQRT(B3:H3) | | | |
| RMSEr (m) | | | | | |
| Line Level | | | | | |

Gambar 3. 75 RMSE Koordinat Y

44. Mengisi $RMSE_r$ dengan formula $=SQRT (RMSE_x^2 + RMSE_y^2)$ (Gambar 3.76).

| E | F | G | H | I |
|-------------------------|--------------|--------------|------------|---|
| Survey GCP & CP Values | | | | |
| X(m) | Y(m) | ΔX | ΔY | |
| (m) | (m) | (m) | (m) | |
| 695.565 | 995.7600.637 | 0.179 | -0.289 | |
| 695.665 | 995.7600.660 | 0.110 | 0.380 | |
| 593.533 | 995.5904.648 | -0.138 | 0.331 | |
| 763.525 | 995.5904.620 | 0.154 | 0.311 | |
| 571.975 | 995.6911.898 | -0.025 | 0.127 | |
| Number of Check Points | | S | B | |
| Mean Error (m) | 0.03208 | 0.08459 | | |
| Standard Deviation (m) | 0.08020 | 0.14423 | | |
| RMSE (m) | 0.08088 | =SQRT(B3:H3) | | |
| RMSEr (m) | | | | |
| at 95% Confidence Level | | | | |
| =SQRT((A4^2)+(B4^2)) | | | | |

Gambar 3. 76 Mengisi $RMSE_r$ Koordinat X

45. Mengisi $RMSE_r$ dengan formula $=SQRT (RMSE_x^2 + RMSE_y^2)$ (Gambar 3.77)

| E | F | G | H | I |
|-------------------------|--------------|--------------|------------|---|
| Survey GCP & CP Values | | | | |
| X(m) | Y(m) | ΔX | ΔY | |
| (m) | (m) | (m) | (m) | |
| 695.565 | 995.7600.637 | 0.179 | -0.289 | |
| 695.665 | 995.7600.660 | 0.110 | 0.380 | |
| 593.533 | 995.5904.648 | -0.138 | 0.331 | |
| 763.525 | 995.5904.620 | 0.154 | 0.311 | |
| 571.975 | 995.6911.898 | -0.025 | 0.127 | |
| Number of Check Points | | S | B | |
| Mean Error (m) | 0.03208 | 0.08459 | | |
| Standard Deviation (m) | 0.08020 | 0.14423 | | |
| RMSE (m) | 0.08088 | =SQRT(B3:H3) | | |
| RMSEr (m) | | | | |
| at 95% Confidence Level | | | | |
| =SQRT((A4^2)+(B4^2)) | | | | |

Gambar 3. 77 Mengisi $RMSE_r$ Koordinat Y

46. Mengisi Horizontal Acurat dengan rumus $= RMSE_r \times 1.5175$ sesuai kestandaran yang telah ditetapkan oleh BIG (Gambar 3.78).

| D | E | F | G | H | I | J |
|--|--------------|--------------|------------|---|---|---|
| Horizontal Accuracy = 1.5175 | | | | | | |
| Survey GCP & CP Values | | | | | | |
| X(m) | Y(m) | ΔX | ΔY | | | |
| (m) | (m) | (m) | (m) | | | |
| 695.565 | 995.7600.637 | 0.179 | -0.289 | | | |
| 695.665 | 995.7600.660 | 0.110 | 0.380 | | | |
| 593.533 | 995.5904.648 | -0.138 | 0.331 | | | |
| 763.525 | 995.5904.620 | 0.154 | 0.311 | | | |
| 571.975 | 995.6911.898 | -0.025 | 0.127 | | | |
| Number of Check Points | | S | B | | | |
| Mean Error (m) | 0.03208 | 0.08459 | | | | |
| Standard Deviation (m) | 0.08020 | 0.14423 | | | | |
| RMSE (m) | 0.08088 | =SQRT(B3:H3) | | | | |
| Horizontal Accuracy, (ACC) at 95% Confidence Level | | | | | | |
| =1.5175 * 0.08088 | | | | | | |

Gambar 3. 78 Akurasi Horizontal

6 IV.HASIL DAN PEMBAHASAN

4.1 Hasil Olah Data Geodetik

Hasil pengolahan data geodetik didapatkan hasil x dan y, *height*, *eastling error*, *northing error*, *elevation error* dan penempatan titik GCP dan ICP pada Desa Muara Asri. Minimal 4 GCP dan 1 ICP dalam luasan 50 Ha, kalau titik GCP diletakan di ujung polygon AOI, karena berfungsi untuk mengontrol x dan y pada drone. Didalam setiap 4 titik GCP wajib di kasih 1 ICP yang lebih bagus diletakan di tengah-tengah polygon dan berfungsi untuk mengecek titik GCP nya itu agar mendapatkan *error X* dan *Y* nya yang bagus

Tabel 4.1 Data Geodetik

| POINT | X | Y | HEIGHT | EASTING_ER | NORTHING_E | ELEVATION |
|-------|------------|------------|--------|------------|------------|-----------|
| GC01 | 569488.666 | 9557859.7 | 18.632 | 0.001 | 0.001 | 0.003 |
| GC02 | 569485.886 | 9557660.06 | 18.515 | 0.001 | 0.001 | 0.003 |
| GC03 | 568467.633 | 9555984.65 | 18.964 | 0.001 | 0.001 | 0.002 |
| GC04 | 568604.762 | 9555769.93 | 18.999 | 0.001 | 0.001 | 0.002 |
| IC01 | 569411.765 | 9556911.81 | 19.293 | 0.001 | 0.001 | 0.001 |

4.2 Hasil Foto Udara

Orthophoto yang dibuat oleh *Agisoft Photos* dapat perangkat lunak visual menyenangkan bila didasarkan pada item yang terlihat. Peta *ortofoto* adalah hasil akhir dari pemrosesan data foto udara. Peta dibuat menggunakan pengamatan GPS geodetik yang berjumlah 322 foto, 4 titik GCP, dan 1 titik ICP, yang diolah menjadi ortofoto menggunakan beberapa tahap, antara lain Align Photo, Build Dense Cloud, Build Texture, Build Mesh, dan Build Orthomosaic.

Mosaik yang dibuat pada titik ini adalah dalam format file * TIFF. foto yang diambil oleh drone untuk foto udara (Gambar 4.1).



Gambar 4. 1 Foto Udara Desa Muara Asri

4.3 Uji Akurasi Geometri

4.3.1 Hasil Perhitungan Akurasi Geometri Horizontal

Tabel 4.2 Hasil Perhitungan Horizontal (RMSEr dan CE 90%)

| NO | LABEL | Map-Derived Values | | Survey GCP & CP Values | | ΔX (m) | ΔY (m) |
|----|-------|--------------------|---------|------------------------|---------|-------------------|-------------------|
| | | X (m) | Y (m) | X (m) | Y (m) | | |
| 1 | GC01 | 569489 | 9557859 | 569489 | 9557860 | 0.179 | -0.289 |
| 2 | GC02 | 569486 | 9557660 | 569486 | 9557660 | 0.110 | 0.380 |
| 3 | GC03 | 568467 | 9555985 | 568468 | 9555985 | -0.218 | 0.331 |
| 4 | GC04 | 568605 | 9555770 | 568605 | 9555770 | 0.124 | -0.126 |
| 5 | ICP1 | 569412 | 9556912 | 569412 | 9556912 | -0.035 | 0.127 |

| | | |
|-------------------------------|----------|-----------|
| Number of Check Points | 5 | 5 |
| Mean Error (m) | 0.03208 | 0.08459 |
| Standard Deviation (m) | 0.16060 | 0.28857 |
| RMSE (m) | 0.14718 | 0.2716128 |
| RMSEr (m) | 0.30893 | |

AkurasiHorizontal 90% 0.46880

Sumber: Hasil Perhitungan Tahun 2023

Tabel 4.3 Lanjutan Rumus RMSE Buat Erorr Position

| $(\Delta X-X)^2$ | $(\Delta Y-Y)^2$ | ΔX^2 | ΔY^2 |
|------------------|------------------|--------------|--------------|
| (m) | (m) | (m) | (m) |
| 0.022 | 0.139 | 0.0322 | 0.0834 |
| 0.006 | 0.087 | 0.0121 | 0.1442 |
| 0.062 | 0.061 | 0.0474 | 0.1093 |
| 0.008 | 0.044 | 0.0154 | 0.0158 |
| 0.005 | 0.002 | 0.0013 | 0.0161 |
| 0.103 | 0.333 | 0.108 | 0.369 |

Sumber: Hasil Perhitungan Tahun 2023

Normalitas residual RMSEr digunakan untuk menghitung akurasi horizontal. Informasi yang digunakan adalah titik koordinat GCP X dan Y antara koordinat data pemeriksaan ortofoto dari Software Trimble Business Centre dan koordinat peta dasar. Hasil perhitungan nilai RMSEr adalah 0,308 dan hasil perhitungan CE 90% adalah 0,468m. Menurut temuan perhitungan, ada perbedaan 0,468 m antara koordinat X dan Y peta ortofoto dan yang ada di lapangan sebenarnya.

4.3.2 Hasil Perhitungan Akurasi Geometri Vertikal

Tabel 4.4 Hasil Perhitungan Vertikal

| Titik GCP & ICP | Koordinat Z Di Lapangan | Koordinat Z di Orthopoto | ΔZ | $(\Delta Z-Z)^2$ | $(\Delta z)^2$ |
|-----------------|-------------------------|--------------------------|------------|------------------|----------------|
| | (m) | (m) | (m) | (m) | (m) |
| GC01 | 18.632 | 18.956 | -0.324 | 0.006956 | 0.104976 |
| GC02 | 18.515 | 18.799 | -0.284 | 0.001884 | 0.080656 |
| GC03 | 18.964 | 19.192 | -0.228 | 0.000159 | 0.051984 |
| GC04 | 18.999 | 19.601 | -0.602 | 0.13061 | 0.362404 |
| ICP1 | 19.293 | 19.058 | 0.235 | 0.226195 | 0.055225 |

| | | | | |
|-----------|-------------------------------|----------|-------------------|-----------------|
| 14 | Number of Check Points | 5 | 0.365803 | 0.655245 |
| | Mean Error (m) | | -0.2406 | |
| | Standard Deviation (m) | | 0.30240833 | |
| | RMSE (m) | | 0.362006906 | |

| | |
|-----------------------------|------------|
| Akurasi Vertikal 90% | 0.59546516 |
|-----------------------------|------------|

Sumber:Hasil Perhitungan Tahun 2023

4 Normalitas residual RMSEz dihitung untuk menentukan akurasi vertikal. Titik koordinat GCP Z antara koordinat peta dasar dan koordinat data pemeriksaan ortofoto adalah informasi yang digunakan.

Hasil nilai RMSEz yang dihitung adalah 0,36 m, sedangkan hasil LE 90% yang dihitung adalah 0,59 m. Menurut temuan perhitungan, nilai koordinat z peta ortofoto dan koordinat z lapangan keduanya 0,59 m.

4.3.3 Uji Ketelitian Skala Peta

Tabel 4.5 Perhitungan Uji Ketelitian Skala Peta

| Ketelitian | Hasil Uji 90% | Ketelitian Skala Peta 1:1000 | | |
|------------|------------------|------------------------------|---------|-------------|
| | | Kelas 1 | Kelas 2 | Kelas 3 |
| Horizontal | 0.46 | 0.2 | 0.3 | 0.5 |
| Vertikal | 0.5 | 0.2 | 0.30 | 0.50 |

Sumber: Hasil Perhitungan Tahun 2023

Menurut temuan perhitungan, jarak antara koordinat X, Y peta ortofoto dan koordinat X, Y di lapangan adalah 0,468 meter, dan jarak antara nilai koordinat z peta ortofoto dan koordinat z di lapangan adalah 0,59 meter. Peta skala 1:1.000 yang dihasilkan memenuhi standar akurasi peta dasar dengan akurasi horizontal dan vertikal di kelas 3, dan dihitung menggunakan peraturan kepala badan informasi geospasial nomor 15 tahun 2014 tentang petunjuk teknis akurasi peta dasar.

V.KESIMPULAN

33 5.1 Kesimpulan

Kesimpulan yang dapat diambil dari pengujian Tingkat akurasi posisi geometri peta hasil pengolahan data foto udara di Desa Muara Asri Kecamatan Mesuji Timur Kabupaten Mesuji, adalah sebagai berikut:

1. Peta dasar Desa Muara Asri Kecamatan Mesuji dari hasil pengolahan foto udara memiliki tingkat akurasi kelas 3 pada 1:1000 berdasarkan klasifikasi akurasi geometri BIG Nomor. 14 tahun 2014.
2. Hasil ketelitian geometri vertikal berdasarkan metode statistik dengan tingkat kepercayaan 90% menunjukkan bahwa ortophoto tersebut memenuhi standar ketelitian dengan hasil perhitungan nilai RMSEz sebesar 0,36 m dan hasil LE 90% sebesar 0,59 m.
3. Untuk hasil ketelitian geometri horizontal memiliki nilai RMSEr 0,30 m dengan LE 90% 0,46 M. Seperti yang dapat dilihat dari hasil ini, skala akurasi geometri untuk peta berdasarkan pedoman BIG NO.15 Tahun 2014, sudah memenuhi baku mutu dengan skala 1:1000 di kelas 3. Dengan kesalahan maksimum Horizontal dan vertikal tidak melebihi dari 1 meter.

35 5.2 Saran

Saran yang dapat disampaikan dari pengujian akurasi posisi geometri peta hasil pengolahan data foto udara di Desa Muara Asri Kecamatan Mesuji Timur, Kabupaten Mesuji adalah sebagai berikut:

1. Saat berhadapan dengan excel, berhati-hatilah saat memasukkan angka untuk menghindari kesalahan. Begitu juga saat mengambil data foto udara sebaiknya yang lengkap agar saat proses pengolahan foto udara sempurna atau tidak gagal.
2. Saat memproses foto udara, disarankan agar laptop memiliki memori yang cukup untuk menghindari kegagalan pemrosesan foto udara.

DAFTAR PUSTAKA

- Badan Informasi Geospasial. 2014. "Peraturan Kepala BIG Nomor 15 Tahun 2014 Tentang Pedoman Teknis Akurasi Peta Dasar." Badan Informasi Geospasial. Bogor
- Bendea, dkk. 2008. "*Low Cost UAV for Post-Disaster Assessment.*" *Proceedings of The XXI Congress of the International Society for Photogrammetry and Remote Sensing, Beijing China.*
- Darmawan, M. 2008. Katalog Methodologi Penyusunan Peta Geo Hazard Dengan GIS. Badan Rehabilitasi dan Rekonstruksi (BRR) NAD-Nias. Banda Aceh.
- Erdas. 1991. Erdas Field Guide. Erdas Inc. Atlanta.
- Fika,R. 2018. profildaerah/kabupaten.fromblogspot:htpps://www.facebook.com
- Indreswari, dkk. 2019. "Peran Drone Buatan STTKD Dalam Dunia Penerbangan."Yogyakarta.
- Kasser, M. dan Polidori, L. 2002. "*From the aerial image to orthophotography: different levels of rectification*". Dalam Kasser M. & Egels Y. (Ed.) *Digital Photogrammetry. London*
- Lailissaum, A. 2015. "Peran Informasi Geospasial Untuk Mendukung Pembentukan Desa: Badan Informasi Geospasial." Cibinong.
- Panjaitan, P.S, dan Supit, J.M. 2021. "Data Foto Udara Untuk Pemanfaatannya Di Sektor Pertambangan." Papua
- Susetyo, D.B., Lumban-Gaol, Y.A., dan Sofian, I. 2018. "*Prototype of National Digital Elevation Model in Indonesia.*" *International Archives of the Photogrammetry, Remote Sensing and Spatial Information Sciences - ISPRS Archives. Bogor*
- Suroso I. (2016). Peran Drone/Unmanned Aerial Vehicle (UAV) Buatan STTKD Dalam Dunia Penerbangan. Jurnal Teknik Aeronautika Sekolah Tinggi Teknologi Kedirgantaraan
- Temiz, M. H. dan Külür, S. (2008). *Rectification Of Digital Close Range Images: Sensor Models, Geometric Image Transformations And Resampling.* The International Archives of the Photogrammetry, Remote Sensing and Spatial Information Sciences.

- Wolf, 1993. “*Elemen Fotogametri, Gadjah Mada University Press*”, Yogyakarta
- Zona Spasial. 2019. “*Penentuan Posisi pada Survei Foto Udara dengan Pesawat Nirawak*”. Jakarta

ORIGINALITY REPORT



PRIMARY SOURCES

| | | |
|---|---|-----------|
| 1 | kelompokkabupaten.blogspot.com Internet Source | 3% |
| 2 | journal.itny.ac.id Internet Source | 3% |
| 3 | ejournal3.undip.ac.id Internet Source | 2% |
| 4 | download.garuda.kemdikbud.go.id Internet Source | 2% |
| 5 | id.scribd.com Internet Source | 1% |
| 6 | eprints.itn.ac.id Internet Source | 1% |
| 7 | docplayer.info Internet Source | 1% |
| 8 | repository.its.ac.id Internet Source | 1% |
| 9 | ejurnal.itemas.ac.id Internet Source | 1% |

| | | |
|----|---|------|
| 10 | repository.dinamika.ac.id Internet Source | 1 % |
| 11 | digilib.unila.ac.id Internet Source | 1 % |
| 12 | 123dok.com Internet Source | <1 % |
| 13 | repository.polinela.ac.id Internet Source | <1 % |
| 14 | docplayer.net Internet Source | <1 % |
| 15 | m.lampost.co Internet Source | <1 % |
| 16 | jurnal.unimed.ac.id Internet Source | <1 % |
| 17 | Submitted to Sriwijaya University Student Paper | <1 % |
| 18 | media.neliti.com Internet Source | <1 % |
| 19 | mikedwihsima.wordpress.com Internet Source | <1 % |
| 20 | repository.ippm.unila.ac.id Internet Source | <1 % |
| 21 | Submitted to Universitas Brawijaya Student Paper | <1 % |

| | | |
|----|---|------|
| 22 | dspace.uii.ac.id Internet Source | <1 % |
| 23 | pt.scribd.com Internet Source | <1 % |
| 24 | text-id.123dok.com Internet Source | <1 % |
| 25 | jurnal.batan.go.id Internet Source | <1 % |
| 26 | repo.itera.ac.id Internet Source | <1 % |
| 27 | download.garuda.ristekdikti.go.id Internet Source | <1 % |
| 28 | riw.co-aol.com Internet Source | <1 % |
| 29 | Alamouri, Ahmed. "Generation of a 3D city model of Baalbek/Lebanon based on historical photos", Technische Universität Berlin, 2011. Publication | <1 % |
| 30 | eprints.ums.ac.id Internet Source | <1 % |
| 31 | inlis.atrbpn.go.id Internet Source | <1 % |
| 32 | smadigitalkotasurakarta.wordpress.com Internet Source | <1 % |

| | | |
|----|---|------|
| 33 | www.slideshare.net Internet Source | <1 % |
| 34 | adoc.pub Internet Source | <1 % |
| 35 | aidansuroyya.blogspot.com Internet Source | <1 % |
| 36 | anakmilanisti.blogspot.com Internet Source | <1 % |
| 37 | bang-johan.blogspot.com Internet Source | <1 % |
| 38 | ejurnal.uigm.ac.id Internet Source | <1 % |
| 39 | idoc.pub Internet Source | <1 % |
| 40 | repository.maranatha.edu Internet Source | <1 % |
| 41 | repository.teknokrat.ac.id Internet Source | <1 % |
| 42 | repository.ub.ac.id Internet Source | <1 % |
| 43 | repository.unika.ac.id Internet Source | <1 % |
| 44 | tomyperikanan.wordpress.com Internet Source | <1 % |

45

www.scribd.com

Internet Source

<1 %

46

Dayat Subekti. "PEMANFAATAN TEKNOLOGI WEB UNTUK PEMBUATAN APLIKASI LAPORAN KEUANGAN DI BANK SAMPAH LINTAS WINONGO YOGYAKARTA", Jurnal Aplikasi Teknologi Informasi dan Manajemen (JATIM), 2022

Publication

<1 %

47

forum.idws.id

Internet Source

<1 %

Exclude quotes

On

Exclude matches

Off

Exclude bibliography

On

TA_Marlina Panjaitan_20731019 --

PAGE 1

PAGE 2

PAGE 3

PAGE 4

PAGE 5

PAGE 6

PAGE 7

PAGE 8

PAGE 9

PAGE 10

PAGE 11

PAGE 12

PAGE 13

PAGE 14

PAGE 15

PAGE 16

PAGE 17

PAGE 18

PAGE 19

PAGE 20

PAGE 21

PAGE 22

PAGE 23

PAGE 24

PAGE 25

PAGE 26

PAGE 27

PAGE 28

PAGE 29

PAGE 30

PAGE 31

PAGE 32

PAGE 33

PAGE 34

PAGE 35

PAGE 36

PAGE 37

PAGE 38

PAGE 39

PAGE 40

PAGE 41

PAGE 42

PAGE 43

PAGE 44

PAGE 45

PAGE 46

PAGE 47
